

## บทที่ 2

# นาโนพอร์สซิลิคอน

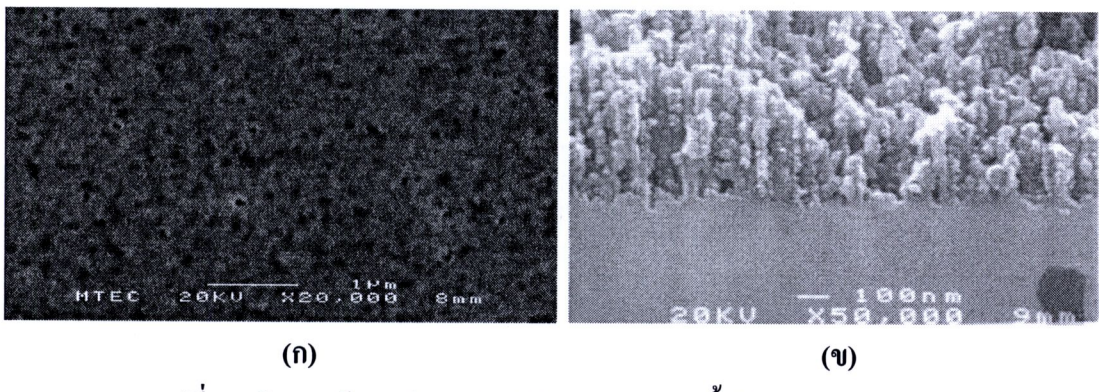
ในบทนี้จะกล่าวถึง ทฤษฎีนาโนพอร์สซิลิคอน วิธีการสร้างนาโนพอร์สซิลิคอนโดยเน้นไปที่วิธีการกัดทางไฟฟ้าเคมี กลไกในการเกิดนาโนพอร์สซิลิคอน และความพรุนของนาโนพอร์สซิลิคอน

### 2.1 ทฤษฎีนาโนพอร์สซิลิคอน

นาโนพอร์สซิลิคอน เป็นวัสดุที่มีโครงสร้างชั้นช้อน มีทั้งโครงสร้างที่เป็นระเบียบ และไม่เป็นระเบียบ ภายในของนาโนพอร์สซิลิคอนจะต้องมีช่องว่างที่มีการจัดเรียงของตอมอย่างเป็นระเบียบเหมือนกับผลึกซิลิคอนเดียว แต่ยังพบว่ามีจุดบกพร่องของผลึก ซึ่งว่าง ระยะห่างของช่องว่าง และพันธะแนบทอดกับอะตอมข้างเคียง โครงสร้างที่มีขนาดเล็กนี้สามารถ通行ได้ 2 รูปแบบ คือ จุด และแท่ง หรือเป็นแบบผสม ผลึกขนาดเล็กจะดับนาโนเมตรนี้มีลักษณะแข็งเปราะ และมีรูพรุน นาโนพอร์สซิลิคอนจึงเป็นวัสดุที่น่าสนใจ มีบทบาทในการจัดการพยาบาลอธิบายถึงคุณสมบัติทางด้านเคมีและฟิสิกส์ของนาโนพอร์สซิลิคอน [16-18] และได้นำนาโนพอร์สซิลิคอนมาประยุกต์ใช้งานอย่างกว้างขวางในด้านต่างๆ เช่น ทางด้านอิเล็กทรอนิกส์ ทางด้านการแพทย์ และอุปกรณ์ตรวจจับสารอินทรีย์ เป็นต้น

#### 2.1.1 โครงสร้างของนาโนพอร์สซิลิคอน

นาโนพอร์สซิลิคอน คือ ผลึกซิลิคอนที่มีลักษณะเป็นรูพรุนขนาดเล็กจำนวนมาก โดยในชั้นความพรุนนี้ จะประกอบไปด้วยโครงสร้างของผลึกซิลิคอนที่มีขนาดอยู่ในระดับนาโนเมตร จนถึงระดับไมโครเมตร โดยในแต่ละชั้นจะมีขนาดโครงสร้างที่แตกต่างกันออกไป ดังรูปที่ 2.1



รูปที่ 2.1 โครงสร้างนาโนพอร์สซิลิคอน (ก) ภาพพื้นผิว (ข) ภาพตัดขวาง

โครงสร้างของนาโนพอร์สซิลิคอนในรูปที่ 2.1 เกิดขึ้นจากการกระบวนการกัดเนื้อของผลึกซิลิคอนด้วยวิธีทางไฟฟ้าเคมี (electrochemical etching) นอกจากนี้ จากการศึกษาโครงสร้างของนาโนพอร์สซิลิคอนโดยเฉพาะในส่วนของชั้นนาโนพอร์สซิลิคอนยังพบต่อไปอีกว่าที่บริเวณผิวของไนโตร นาโนพอร์สซิลิคอนนั้นยังประกอบไปด้วยพันธะของซิลิคอนไฮไดค์ (Si:H) หรือซิลิคอนออกซิไฮไดค์ (Si:O:H) ปกคลุมอยู่ที่ผิวด้วยหัวไป [19-21]

### 2.1.2 การแบ่งประเภทของนาโนพอร์สซิลิคอน

นาโนพอร์สซิลิคอนสามารถแบ่งออกเป็น 3 ประเภท [18] คือ

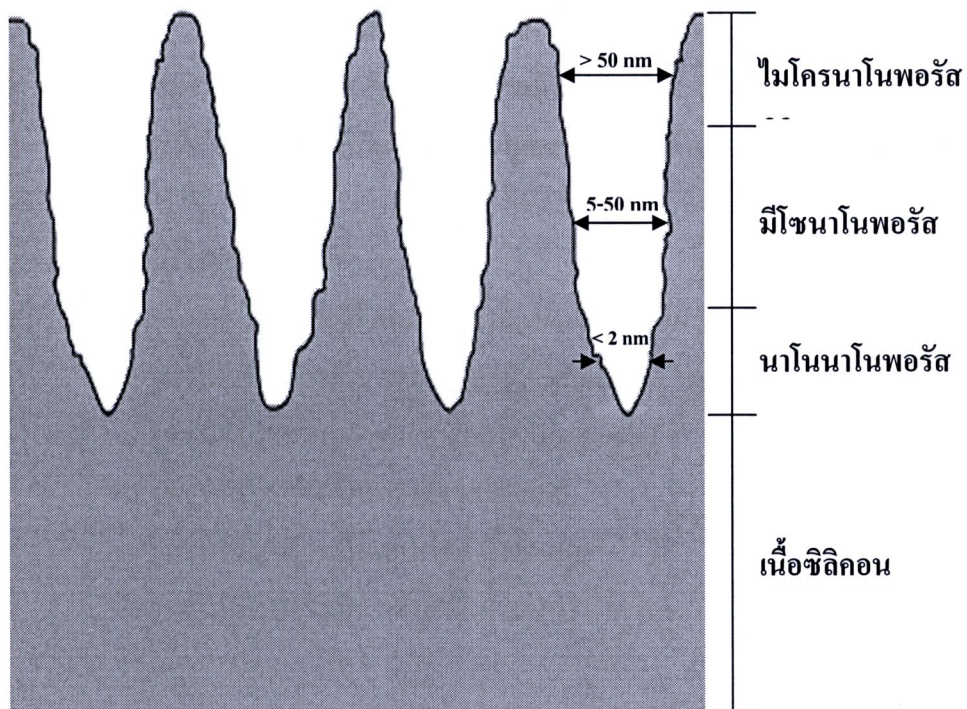
#### 1. แบ่งตามขนาดเส้นผ่านศูนย์กลางของรูพรุน

นาโนพอร์สซิลิคอนสามารถแบ่งได้ตามขนาดเส้นผ่านศูนย์กลางของรูพรุน ดังนี้

1.1 โครงสร้างของชั้นไนโตรนาโนพอร์สซิลิคอน (microporous) เป็นชั้นของนาโนพอร์สซิลิคอนที่มีขนาดเส้นผ่านศูนย์กลางของรูพรุนที่ใหญ่กว่า 50 นาโนเมตร ขึ้นไป

1.2 โครงสร้างของชั้นมีโซนาโนพอร์สซิลิคอน (mesoporous) เป็นชั้นของนาโนพอร์สซิลิคอนที่มีขนาดเส้นผ่านศูนย์กลางของรูพรุนที่อยู่ระหว่าง 5 นาโนเมตร ถึง 50 นาโนเมตร

1.3 โครงสร้างของชั้นนาโนนาโนพอร์สซิลิคอน (nanoporous) เป็นชั้นของนาโนพอร์สซิลิคอนที่มีขนาดเส้นผ่านศูนย์กลางของรูพรุนที่เล็กกว่า 5 นาโนเมตร ลงไป โดยโครงสร้างในชั้นนี้จะติดกับเนื้อของซิลิคอน

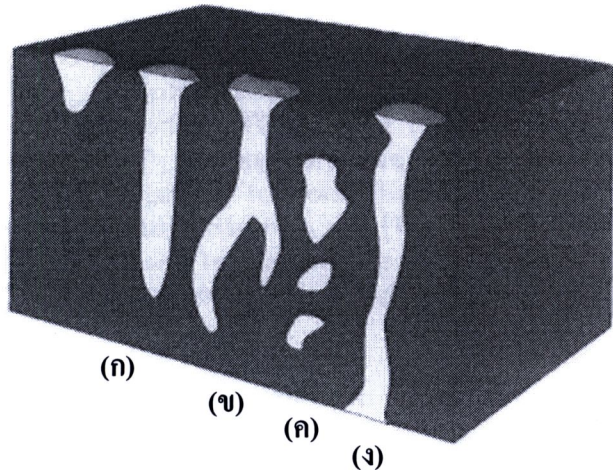


รูปที่ 2.2 ภาพจำลองโครงสร้างของชั้นนาโนพอร์สซิลิคอนที่มีขนาดต่างๆ กัน

## 2. แบ่งตามลักษณะของรูพ魯น

ลักษณะรูพ魯นของนาโนพอร์สซิลิคอนสามารถแบ่งออกได้เป็น 4 ประเภทหลักๆ ดังนี้

- 2.1 ลักษณะเป็นรูตันและไม่มีการแยกของรูพ魯น (blind)
- 2.2 ลักษณะเป็นรูตันและมีการแยกออกของรูพ魯น (banded)
- 2.3 ลักษณะเป็นโพรงอากาศผิวปิดทุกด้าน (totally isolated)
- 2.4 ลักษณะเป็นรูกลวงทะลุออกไปยังอีกด้าน (through)



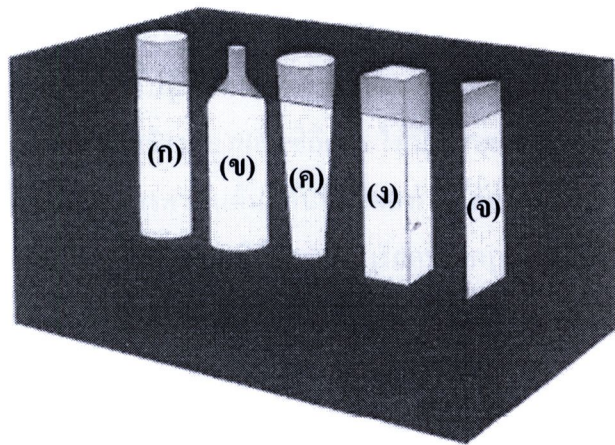
รูปที่ 2.3 ภาพจำลองรูพ魯นของนาโนพอร์สซิลิคอนลักษณะต่าง ๆ กัน

- (ก) ลักษณะเป็นรูตันและไม่มีการแยกของรูพ魯น
- (ง) ลักษณะเป็นรูตันและมีการแยกออกของรูพ魯น
- (ค) ลักษณะเป็นโพรงอากาศผิวปิดทุกด้าน
- (ง) ลักษณะเป็นรูกลวงทะลุออกไปยังอีกด้าน

## 3. แบ่งตามรูปร่างของรูพ魯น

รูปร่างรูพ魯นของนาโนพอร์สซิลิคอนสามารถแบ่งออกได้เป็น 5 ประเภทหลักๆ ดังนี้

- 3.1 รูพ魯นที่มีรูปร่างเป็นทรงกระบอก (cylindrical)
- 3.2 รูพ魯นที่มีรูปร่างคล้ายขวดน้ำหมึก (ing-bottle)
- 3.3 รูพ魯นที่มีรูปร่างเป็นทรงกรวย (funnel)
- 3.4 รูพ魯นที่มีรูปร่างเป็นลูกบาศก์ (cuboid)
- 3.5 รูพ魯นที่มีรูปร่างเป็นทรงสามเหลี่ยมพีระมิด (triangular)

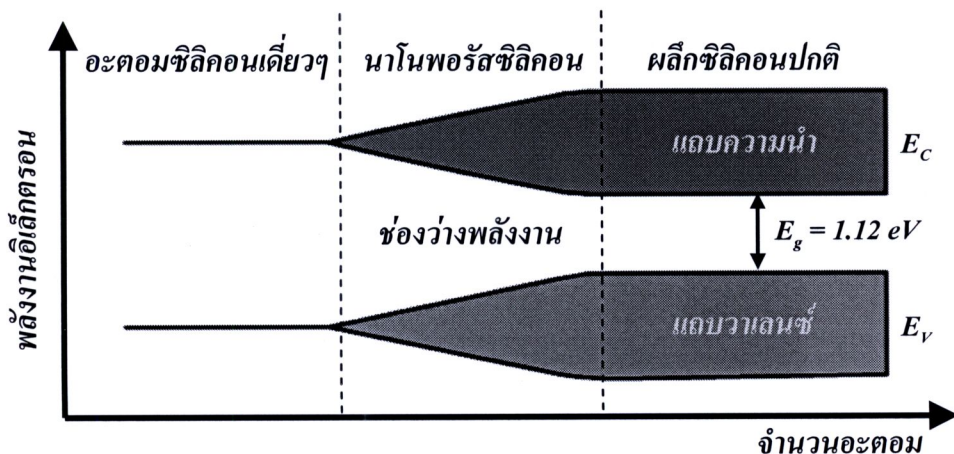


รูปที่ 2.4 ภาพจำลองรูปrunของนาโนพอร์ซิลิคอนรูปร่างต่างๆ

- |  |                                       |
|--|---------------------------------------|
| (ก) รูปrunที่มีรูปร่างเป็นทรงกระบอก            | (ข) รูปrunที่มีรูปร่างคล้ายขวดน้ำหมึก |
| (ค) รูปrunที่มีรูปร่างเป็นทรงกรวย              | (ง) รูปrunที่มีรูปร่างเป็นลูกบาศก์    |
| (จ) รูปrunที่มีรูปร่างเป็นทรงสามเหลี่ยมพีระมิด |                                       |

### 2.1.3 ลักษณะแบบพลังงานของนาโนพอร์ซิลิคอน

เมื่ออะตอมของผลึกซิลิคอนมาอยู่ใกล้ชิดกัน จนเกิดการเหลือร่องว่างของระดับพลังงานในอะตอมทำให้เกิดการแตกแยกของระดับพลังงานเหล่านั้นขึ้น ซึ่งจำนวนของระดับพลังงานที่แตกแยกออกมานั้นจะมีค่าเท่ากับจำนวนอะตอมที่อยู่ใกล้ชิดกัน จากหลักการนี้เองถ้าเราสามารถทำการลดจำนวนอะตอมภายในผลึกลง ได้ก็จะทำให้ปฏิกรณ์ระหว่างอะตอมที่มีต่อกันนั้นมีจำนวนลดลงด้วย ซึ่งจะไปมีผลต่อลักษณะของแบบพลังงานในส่วนของช่องว่างแบบพลังงาน (energy band gap) ที่จะมีการเปลี่ยนแปลงเพิ่มขึ้นเมื่อเปรียบเทียบกับเนื้อของผลึกซิลิคอนเดิม (มีจำนวนอะตอมของซิลิคอนอยู่ภายในประมาณ  $10^{22}$  อะตอม/ลูกบาศก์เซนติเมตร) แสดงดังรูปที่ 2.5 [22]



รูปที่ 2.5 ลักษณะแบบพลังงานของผลึกซิลิคอนที่จำนวนอะตอมต่างๆ

จากรูปที่ 2.5 จะเห็นได้ว่า เมื่อจำนวนอะตอมของผลึกซิลิคอนมีค่าลดลง จะมีผลทำให้ช่องว่างพลังงานมีค่าเพิ่มขึ้น ซึ่งในทางปฏิบัติการลดจำนวนอะตอมของผลึกซิลิคอนลงนั้นสามารถทำได้โดยการลดหรือบีบขนาดโครงสร้างของผลึกซิลิคอนให้มีขนาดเล็กลงอยู่ในระดับของนาโนเมตร จนสามารถเกิดปรากฏการณ์ทางควอนตัม อันจะมีผลทำให้ลักษณะโครงสร้างทางช่องว่างพลังงานมีการเปลี่ยนแปลงเพิ่มขึ้นจากเนื้อผลึกซิลิคอนเดิม เรียกปรากฏการณ์เช่นนี้ว่า พลังงานขนาดควอนตัม (quantum size effect) ซึ่งค่าพลังงานที่มีการเปลี่ยนแปลงเพิ่มขึ้นเนื่องจากปรากฏการณ์นี้จะมีค่าเท่ากับ

$$E_q = \Delta E_c + \Delta E_v \quad (2.1)$$

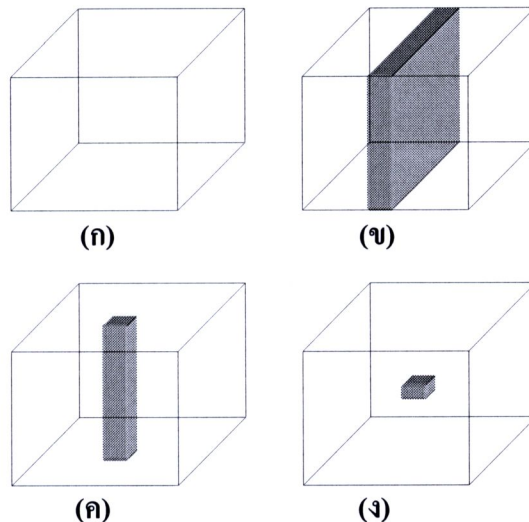
โดยที่  $E_q$  คือ พลังงานที่เกิดขึ้นจากปรากฏการณ์ พลังงานขนาดควอนตัม

$\Delta E_c$  คือ พลังงานที่มีการเปลี่ยนแปลงเพิ่มขึ้นจากการลดพลังงานต่ำสุดของແลบ

ความนำเดิมก่อนเกิด nano porosilicon

$\Delta E_v$  คือ พลังงานที่มีการเปลี่ยนแปลงเพิ่มขึ้นจากการลดพลังงานต่ำสุดของແลบ

วางแผนซ์เดิมก่อนเกิด nano porosilicon



รูป 2.6 แบบจำลองลักษณะโครงสร้างทางควอนตัมแบบต่างๆ

(ก) เนื้อผลึกซิลิคอน      (ง) ควอนตัมในเชิง 2 มิติ

(ก) ควอนตัมในเชิง 1 มิติ    (ง) ควอนตัมในแบบไม่มีมิติ

จากรูปที่ 2.6 พาหะนำกระแสที่อยู่ภายในโครงสร้างเล็กๆ เหล่านี้ จะเสมือนว่าได้ถูกกักขังให้อยู่ภายในบริเวณที่มีเนื้อที่จำกัด ไม่สามารถเคลื่อนที่ไปมาได้อย่างอิสระในแบบ 3 มิติได้

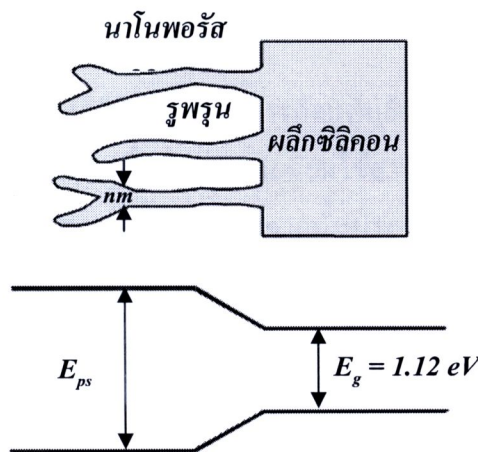
เหมือนกับอยู่ในเนื้อพลีกซิลิคอนปกติ มีผลทำให้คุณสมบัติทางไฟฟ้า และคุณสมบัติทางแสงจะแตกต่างไปจากเนื้อซิลิคอนเดิม

ทิศทางการเคลื่อนที่โดยรวมของพาหะนำกระแสจะถูกบีบหรือบังคับ ด้วยลักษณะและขนาดของโครงสร้างพลีก ด้วยเหตุผลนี้จึงทำให้ปรากฏการณ์ ผลของขนาดความตั้ม สามารถแบ่งออกได้เป็น 3 ประเภทด้วยกันคือ

1. ความตั้มในเชิง 2 มิติ (quantum well) เกิดจากการลดขนาดหรือปลูกพลีกให้มีลักษณะเป็นชั้นที่มีความบางมากๆ ในระดับชั้นของโนมเลกุล เช่น 30-50 ชั้น โนมเลกุล ( $< 100 \text{ nm}$ ) พาหะนำกระแสที่ถูกกักขังให้อยู่ภายในโครงสร้างลักษณะนี้ จะถูกบีบหรือจำกัดทิศทางในการเคลื่อนที่โดยรวมให้สามารถเคลื่อนที่ไปมาในโครงสร้างแบบ 2 มิติ ดังแสดงในรูปที่ 2.6 (ข)

2. ความตัมในเชิง 1 มิติ (quantum wire) เกิดจากการลดขนาดหรือปลูกพลีกให้มีลักษณะเป็นเส้นหรือเสา鞭ๆ ที่มีความหนาอยู่ในระดับนาโนเมตร ( $< 10 \text{ nm}$ ) พาหะนำกระแสที่ถูกกักขังอยู่ภายในโครงสร้างลักษณะนี้จะถูกจำกัดทิศทางในการเคลื่อนที่โดยรวมให้สามารถเคลื่อนที่ไปในโครงสร้างแบบ 1 มิติ หรือเพียงทิศทางเดียวตามความยาวของโครงสร้างที่เป็นเส้นหรือเสานี้เท่านั้น ดังแสดงในรูป 2.6 (ค) ซึ่งลักษณะช่องว่างพลังงานของโครงสร้าง 1 มิติแบบนี้ จะมีขนาดที่กว้างกว่า ช่องว่างพลังงานของโครงสร้างแบบ 2 มิติ ทั้งนี้เนื่องจากโครงสร้างในลักษณะแบบนี้จะมีขนาดที่เล็กกว่า และมีจำนวนอะตอมที่อยู่ภายใต้น้อยกว่าโครงสร้าง 2 มิติ

3. ความตัมในแบบไม่มีมิติ (quantum dot) เกิดจากการลดขนาดหรือปลูกพลีกให้มีลักษณะเป็นจุดที่มีขนาดเล็กมาก ( $< 1 \text{ nm}$ ) โดยพาหะนำกระแสที่ถูกกักขังให้อยู่ภายใต้ในโครงสร้างลักษณะแบบนี้ ในทางอุตสาหกรรมถือว่าจะถูกจำกัดทิศทางในการเคลื่อนที่อย่างสมบูรณ์ ให้อยู่ภายใต้ในโครงสร้าง ในแบบที่ไม่มีมิติ ดังแสดงในรูปที่ 2.6 (ง) อะตอมที่อยู่ภายใต้ในโครงสร้างจุดเล็กๆเหล่านี้จะมีจำนวนที่น้อยกว่าในโครงสร้างสองแบบแรก ซึ่งจะมีผลทำให้ขนาดช่องว่างพลังงานของโครงสร้างที่เป็นแบบจุดนี้จะมีความกว้างที่มากกว่าในโครงสร้างสองแบบแรก



รูปที่ 2.7 ลักษณะแบบพลังงานของนาโนพอร์ซิลิคอนเปรียบเทียบกับพลีกซิลิคอน

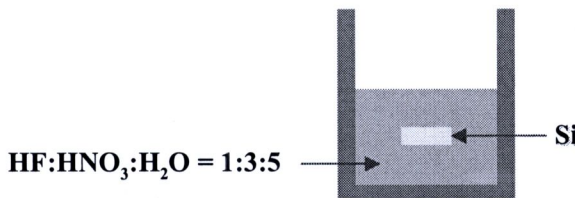
เนื่องจากโครงสร้างส่วนใหญ่ของชิ้นนาโนพอร์ซิลิคอนจะมีลักษณะเป็นเส้น หรือเส้าๆ ที่มีขนาดอยู่ในระดับนาโนเมตร ทำให้ปรากฏการณ์ทางความต้านทานที่เกิดขึ้นในโครงสร้างของนาโนพอร์ซิลิคอน จัดอยู่ในประเภท ความต้านทานเชิง 1 มิติ โดยจะมีลักษณะของแบบพลังงานดังแสดงในรูปที่ 2.7 ซึ่งความกว้างของช่องพลังงาน ( $E_{PS}$ ) มีค่าขึ้นอยู่กับโครงสร้างระดับนาโนเมตรของนาโนพอร์ซิลิคอน

## 2.2 เทคนิคการสร้างนาโนพอร์ซิลิคอน

กระบวนการสร้างนาโนพอร์ซิลิคอนให้มีโครงสร้างอยู่ในระดับนาโนเมตรมีอยู่หลายวิธี ด้วยกัน [23-27] แต่จะขอพิจารณาถึงเทคนิคการสร้างนาโนพอร์ซิลิคอนที่เหมาะสม สามารถควบคุมตัวแปรต่างๆ ในการสร้างได้ และสามารถทำการสร้างในห้องปฏิบัติการสารกึ่งตัวนำได้

### 2.2.1 การสร้างนาโนพอร์ซิลิคอนด้วยวิธีการกัดแบบย้อมสี (stain etching)

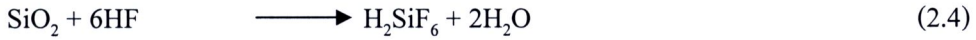
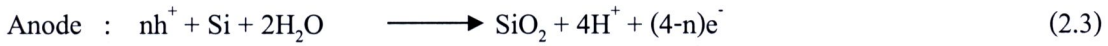
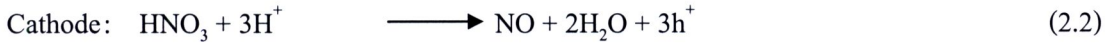
การสร้างนาโนพอร์ซิลิคอนด้วยวิธีการกัดแบบย้อมสี [28] เป็นเทคนิคที่ทำการจุ่มแผ่นซิลิคอนลงในสารประกอบของกรดไฮdroฟลูออริก (hydrofluoric acid : HF) ซึ่งจะประกอบด้วยสารละลายกรดไฮdroฟลูออริก กรดไนโตริก (nitric :  $HNO_3$ ) และน้ำ ในอัตราส่วน 1:3:5 เป็นส่วนประกอบหลัก นอกจากนี้ยังอาจมีการใช้การกระตุ้นด้วยแสงสว่างในขณะที่ทำการกัดด้วยปฏิกิริยาเคมี เพื่อเป็นตัวช่วยการทำปฏิกิริยา



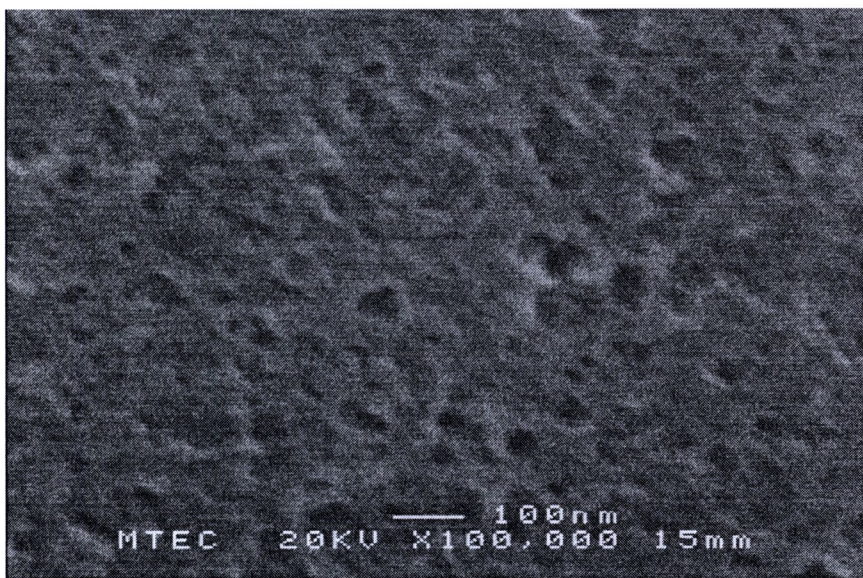
รูปที่ 2.8 ภาพตัดขวางของอุปกรณ์ที่ใช้ในกระบวนการกัดแบบย้อมสี

จากรูปที่ 2.8 กลไกการเกิดปฏิกิริยาเคมีของการกัดแบบย้อมสีคือ การทำให้เกิดประจุโอลเพื่อทำให้เกิดปฏิกิริยาการกัดเนื้อซิลิคอน ซึ่งส่วนมากจะนิยมใช้สารละลายกรดไฮdroฟลูออริก ทำปฏิกิริยากับกรดไนโตริก เพื่อทำให้เกิดประจุโอล หลังจากนั้นประจุโอลที่เกิดขึ้นจะเข้าทำปฏิกิริยากับซิลิคอนและน้ำ เกิดปฏิกิริยาออกซิเดชันได้ซิลิคอนไดออกไซด์ ขณะที่เกิดปฏิกิริยาออกซิเดชันนี้เอง สารละลายกรดไฮdroฟลูออริกก็จะกัดเนื้อซิลิคอนไดออกไซด์บางส่วนออก ซึ่งการเกิดซิลิคอนไดออกไซด์ และการถูกกัดของซิลิคอนไดออกไซด์จะเป็นแบบสุ่ม เนื่องจากไม่มีกลไกในการควบคุมทิศทางการทำปฏิกิริยา ดังนั้นลักษณะโครงสร้างที่ได้จึงมักจะไม่มีรูปแบบ (non-uniform)

ปฏิกิริยาที่เกิดขึ้นในกระบวนการกัดแบบข้อมสีสามารถเขียนเป็นสมการเคมีได้ดังนี้คือ



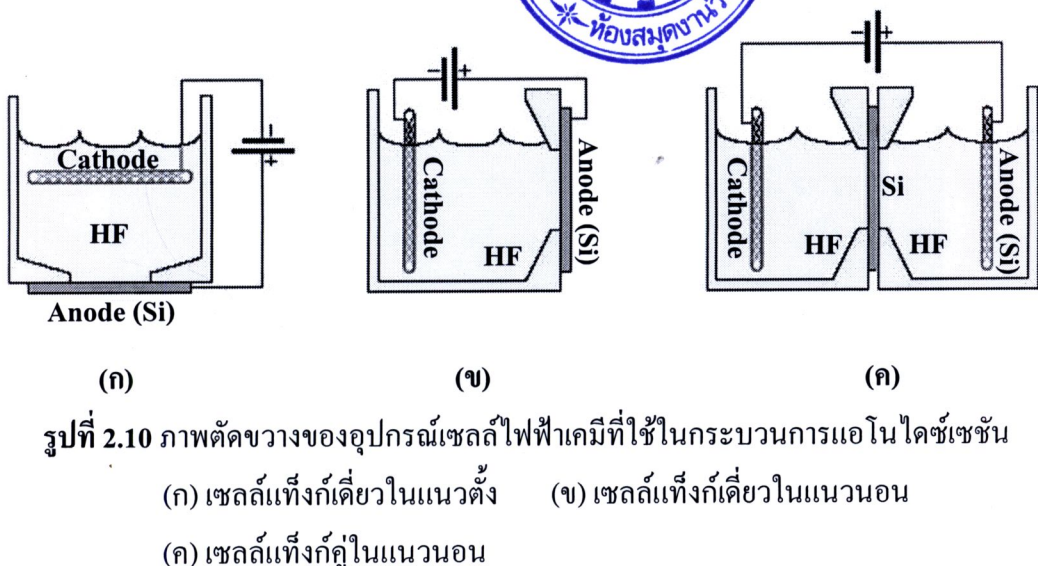
ในระหว่างกระบวนการกัดจะสังเกตเห็นว่า บริเวณที่กำลังทำปฏิกิริยาจะมีสีสันเปลี่ยนไปในรูปแบบที่คล้ายกับวงเวียนสีของชั้นซิลิคอนไครอคูล์ท์ ทั้งนี้เนื่องจากความหนาของชั้นนาโนพอร์ซิลิคอนที่เพิ่มขึ้นนั่นเอง เช่น มีการเปลี่ยนแปลงของสีสันจากสีน้ำเงินเป็นสีเขียวและสีทองตามลำดับ ส่วนความหนาของชั้นนาโนพอร์ซิลิคอนที่ได้จากการกัดแบบข้อมสีจะมีค่าประมาณ 100 nm และพื้นผิวของชั้นนาโนพอร์ซิลิคอนที่เกิดจากการกัดแบบข้อมสีจะมีลักษณะไม่สม่ำเสมอ แสดงดังรูปที่ 2.9 [28]



รูปที่ 2.9 ภาพพื้นผิวของชั้นนาโนพอร์ซิลิคอนที่ได้จากการกัดแบบข้อมสี

## 2.2.2 การสร้างนาโนพอร์ซิลิคอนด้วยวิธีการกัดทางไฟฟ้าเคมี (anodization)

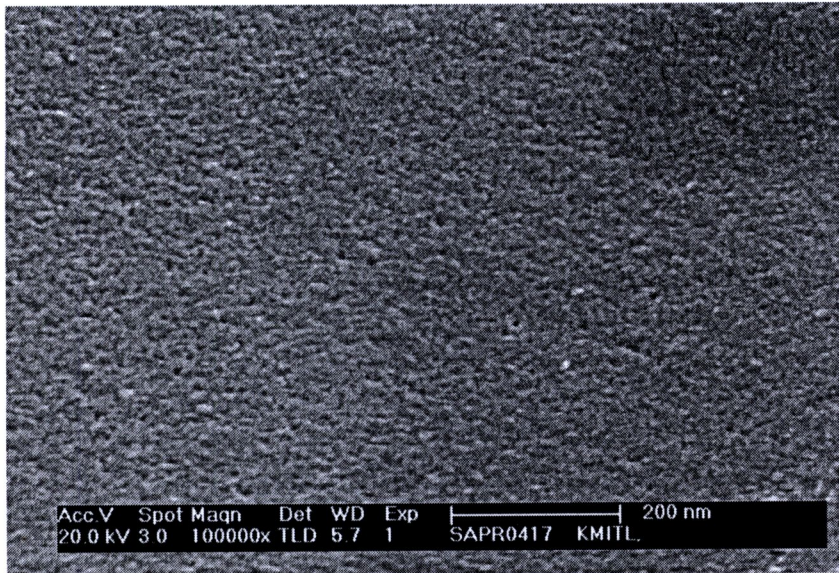
การสร้างนาโนพอร์ซิลิคอนด้วยวิธีการกัดทางไฟฟ้าเคมี หรือที่เรียกว่า แอดโนไซซ์เซชัน [29,30] เป็นวิธีที่สามารถควบคุมปฏิกิริยาในการสร้างนาโนพอร์ซิลิคอน ซึ่งจะส่งผลทำให้เกิดชั้นนาโนพอร์ซิลิคอนที่มีความสม่ำเสมอ (uniform) ทั่วทั้งแผ่น โดยวิธีการแอดโนไซซ์เซชันนี้จะใช้อุปกรณ์เซลล์ไฟฟ้าเคมี แสดงดังรูปที่ 2.10



**รูปที่ 2.10** ภาพตัดขวางของอุปกรณ์เซลล์ไฟฟ้าเคมีที่ใช้ในกระบวนการแօโนไดซ์เชื้อชัน  
 (ก) เซลล์แท้ทึ่งก์เดียวในแนวตั้ง      (ข) เซลล์แท้ทึ่งก์เดียวในแนวอน  
 (ค) เซลล์แท้ทึ่งก์คู่ในแนวอน

อุปกรณ์เซลล์ไฟฟ้าเคมีที่ใช้ในกระบวนการแօโนไดซ์เชื้อชันนี้จะประกอบด้วย แผ่นซิลิคอนอยู่ที่ขึ้วแօโนด ส่วนขั่วแคโทดจะจุ่มอยู่ในสารละลายกรดไฮโดรฟลูออริก จากรูปที่ 2.10 (ก) เป็นเซลล์ไฟฟ้าเคมีแบบเซลล์แท้ทึ่งก์เดียวในแนวตั้ง (single tank vertical cell) มีจุดเด่นอยู่ที่ขณะทำการสร้างนาโนพอร์สซิลิคอนสามารถถ่ายแสงเพื่อช่วยเร่งปฏิกิริยาการกัดได้ง่าย เมื่อเปรียบเทียบกับรูปที่ 2.10 (ข) จะเห็นได้ว่าเซลล์ไฟฟ้าเคมีแบบเซลล์แท้ทึ่งก์เดียวในแนวอน (single tank lateral cell) นั้นทำการถ่ายแสงได้ยากกว่า ส่วนรูปที่ 2.10 (ค) เป็นเซลล์ไฟฟ้าเคมีแบบเซลล์แท้ทึ่งก์คู่ในแนวอน (double tank lateral cell) ซึ่งพัฒนามาจากเซลล์ไฟฟ้าเคมีแบบเซลล์แท้ทึ่งก์เดียวในแนวอน เพื่อใช้ต่อร่วมกับปั๊ม (pump) ทำให้มีการไหลเวียนของสารละลายกรดไฮโดรฟลูออริกตลอดเวลาส่งผลทำให้ได้ชั้นนาโนพอร์สซิลิคอนที่สม่ำเสมอมากขึ้น แต่ก็ยังมีปัญหาในการถ่ายแสงเพื่อช่วยเร่งปฏิกิริยาการกัด โดยส่วนใหญ่การสร้างชั้นนาโนพอร์สซิลิคอนด้วยวิธีแօโนไดซ์เชื้อชันจะมีเงื่อนไขต่างๆ ที่ใช้ในระหว่างการสร้างก็คือ ความเข้มข้นของสารละลายกรดไฮโดรฟลูออริก การผสมอุตสาหกรรมเพื่อช่วยให้เกิดความสม่ำเสมอของชั้นนาโนพอร์สซิลิคอนมากขึ้น [30] เวลาและความหนาแน่นกระดิ้ไฟฟ้าที่ใช้ในการแօโนไดซ์เชื้อชัน ซึ่งปฏิกิริยาทางไฟฟ้าเคมีที่เกิดขึ้นจะมีผลทำให้บริเวณผิวดองแ่นซิลิคอนที่สัมผัสกับสารละลายกรดไฮโดรฟลูออริกถูกกัดเป็นรูพรุนขนาดเล็กๆ จำนวนมาก โดยการสร้างนาโนพอร์สซิลิคอนด้วยวิธีการแօโนไดซ์เชื้อชันนี้ สามารถควบคุมความสม่ำเสมอ ความพรุน และความหนาของนาโนพอร์สซิลิคอน ได้ดีกว่าวิธีการกัดแบบย้อมตี โดยภาพพื้นผิวดองชั้นนาโนพอร์สซิลิคอนที่เกิดกระบวนการแօโนไดซ์เชื้อชันจะมีลักษณะสม่ำเสมอกว่าวิธีการกัดแบบย้อมตี แสดงดังรูปที่ 2.11

|                                 |
|---------------------------------|
| สำนักงานคณะกรรมการวิจัยแห่งชาติ |
| ห้องสมุดงานวิจัย                |
| วันที่..... 26 พ.ย. 2555 .....  |
| เลขทะเบียน..... 250187 .....    |
| เลขเรียกหนังสือ.....            |

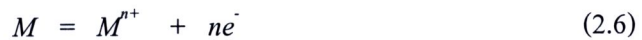


รูปที่ 2.11 ภาพพื้นผิวของชั้นนาโนพอร์สซิลิคอนที่ได้จากการแอลูไนไซซ์เชชัน

### 2.3 เชลล์ไฟฟ้าเคมี

การสร้างนาโนพอร์สซิลิคอนด้วยวิธีการกัดทางไฟฟ้าเคมี [31] เป็นวิธีการที่น่าสนใจเป็นอย่างมาก โดยกระบวนการทางไฟฟ้าเคมีเป็นปฏิกิริยาทางเคมีที่มีการถ่ายเทของอิเล็กตรอนเกิดขึ้นภายในระบบ สามารถแบ่งออกได้เป็น 2 ประเภท คือ

1. ปฏิกิริยาออกซิเดชัน (oxidation reaction) เป็นปฏิกิริยาที่อะตอมของสารมีการสูญเสียอิเล็กตรอนเกิดขึ้น ดังตัวอย่างเช่น สาร  $M$  มีวาเลนซ์อิเล็กตรอนเท่ากับ  $n$  คือ มีอิเล็กตรอน  $n$  อนุภาคโครงการอยู่ในวงนอกสุดของอะตอม สามารถเกิดปฏิกิริยาออกซิเดชันได้ดังนี้ คือ



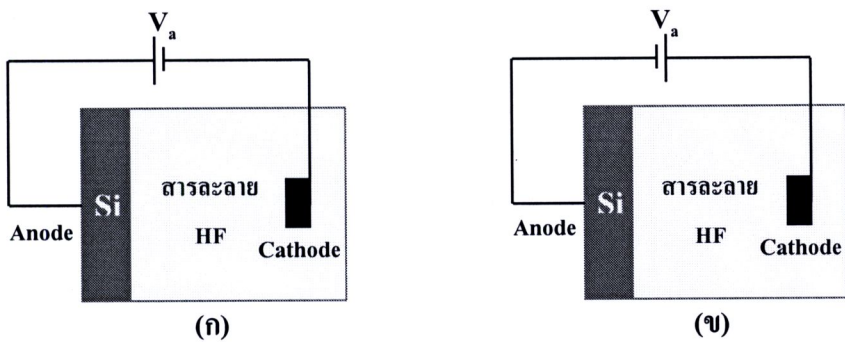
โดยบริเวณที่ซึ่งปฏิกิริยาออกซิเดชันเกิดขึ้นจะถูกเรียกว่า แอนอด (anode) ดังนั้นปฏิกิริยาออกซิเดชันจึงเรียกเป็น ปฏิกิริยาแอนอดิก (anodic reaction)

2. ปฏิกิริยารีดักชัน (reduction reaction) เป็นปฏิกิริยาที่อิเล็กตรอนที่เกิดจากแต่ละอะตอมของสารชนิดหนึ่งถูกถ่ายเท และเข้าร่วมเป็นส่วนหนึ่งของสารอีกชนิดหนึ่ง ดังตัวอย่างเช่น ไอออนของโลหะในสารละลายน้ำปฏิกิริยารีดักชันสามารถเกิดขึ้นได้ดังนี้ คือ



โดยบริเวณที่ซึ่งปฏิกิริยาดักชันเกิดขึ้นจะถูกเรียกว่า แคโทด (cathode) ดังนั้นปฏิกิริยาดักชันจึงเรียกเป็น ปฏิกิริยาแคโทดิก (cathodic reaction)

เมื่อพิจารณาปฏิกิริยาทั้งระบบแล้ว ปฏิกิริยาไฟฟ้าเคมีที่เกิดขึ้นจะต้องประกอบด้วยปฏิกิริยาออกซิเดชันอย่างละเอียดที่ปฏิกิริยาเป็นอย่างน้อย ดังเช่นในระบบของเซลล์ไฟฟ้าเคมีที่ประกอบด้วยสาร 2 ชนิด ที่ต่อ กันในสารละลายอิเล็กโทรไลท์ โดยสารอันหนึ่งจะเป็นแອโนดหรือสารที่ถูกกัด ส่วนสารอีกชิ้นหนึ่งจะเป็นแคโทด



รูปที่ 2.12 ลักษณะการ ไนอัลเซลล์ไฟฟ้าเคมีในลักษณะต่าง

(ก) แบบแອโนดิก (ห) แบบแคโทดิก

พิจารณาเซลล์ไฟฟ้าในรูปที่ 2.12 ทางด้านซ้ายจะเป็นขั้วไฟฟ้าของแผ่นซิลิคอน (Si) ซึ่งจะถูกจุ่มอยู่ในสารละลายอิเล็กโทรไลท์ โดยในที่นี้ได้แก่ สารละลายกรดไฮโดรฟลูออริก ส่วนทางด้านขวาจะเป็นขั้วไฟฟ้า ซึ่งเป็นข้ออิเล็กโทรดที่ถูกจุ่มอยู่ในสารละลายกรดไฮโดรฟลูออริก เช่นกัน จากรูปจะเห็นได้ว่ามีลักษณะในการ ไนอัลเซลล์ไฟฟ้าเคมี มีอยู่ 2 ลักษณะด้วยกัน คือ

### 1. การ ไนอัลเซลล์ไฟฟ้าเคมีแบบแອโนดิก (anodic bias)

เป็นการ ไนอัลในลักษณะที่ขั้วไฟฟ้าของแผ่นซิลิคอนจะอยู่ทางขั้วบวก ส่วนขั้วไฟฟ้าที่จุ่มอยู่ในสารละลายกรดไฮโดรฟลูออริกจะอยู่ทางขั้วนegatif การ ไนอัลในลักษณะเช่นนี้ แผ่นซิลิคอนจะเป็นขั้วแອโนด มีผลทำให้แผ่นซิลิคอนสามารถถูกกัดได้

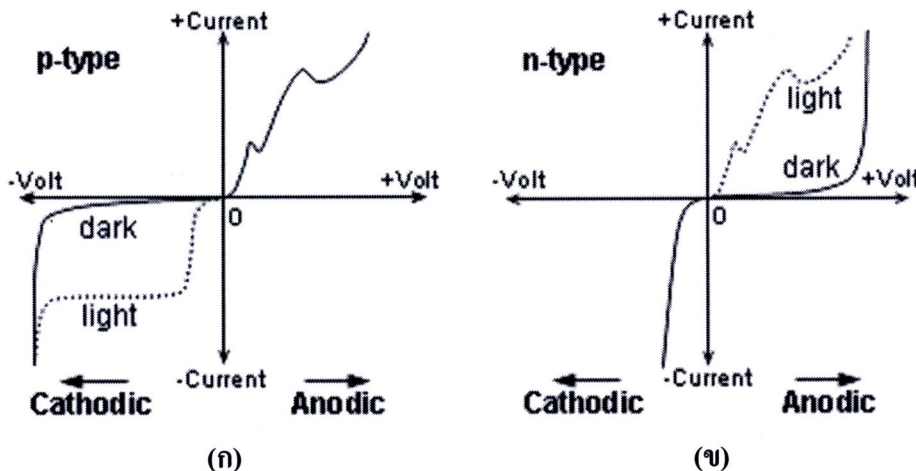
### 2. การ ไนอัลเซลล์ไฟฟ้าเคมีแบบแคโทดิก (cathodic bias)

เป็นการ ไนอัลในลักษณะที่ขั้วไฟฟ้าของแผ่นซิลิคอนจะอยู่ทางขั้วบวก ส่วนขั้วไฟฟ้าที่จุ่มอยู่ในสารละลายกรดไฮโดรฟลูออริกจะอยู่ทางขั้วนegatif การ ไนอัลในลักษณะเช่นนี้ แผ่นซิลิคอนจะเป็นขั้วแคโทด ทำให้ไม่เกิดการกัดแผ่นซิลิคอน

### 2.3.1 ลักษณะกระแสและแรงดันไฟฟ้าภายในเซลล์ไฟฟ้าเคมี

ลักษณะความสัมพันธ์ระหว่างกระแสและแรงดันไฟฟ้าของเซลล์ไฟฟ้าเคมีที่ใช้สำหรับสร้างชั้นนาโนพอร์ซิลิคอนมีลักษณะและพฤติกรรมเป็นแบบชื้อตึก (schottky diode) ที่

เกิดขึ้นจากการสัมผัสกันระหว่างวัสดุสองชนิด คือ แผ่นซิลิโคนกับสารละลายอิเล็กโทรไลท์ ซึ่งในที่นี้ได้แก่ สารละลายกรดไฮโดรฟลูออริก โดยจะพิจารณาถึงลักษณะความสัมพันธ์ระหว่างกระแสและแรงดันไฟฟ้าภายใต้แสงไฟฟ้าเคมี ระหว่างแผ่นซิลิโคนชนิดพีและเอ็นในสารละลายกรดไฮโดรฟลูออริก ภายใต้เงื่อนไขในการถูกฉายแสงและไม่ถูกฉายแสง แสดงดังรูปที่ 2.13 [31]



รูปที่ 2.13 ลักษณะกระแสและแรงดันไฟฟ้าของเซลล์ไฟฟ้าเคมีระหว่างแผ่นซิลิโคน  
(ก) ชนิดพี และ (ข) ชนิดเอ็น ในสารละลายกรดไฮโดรฟลูออริก

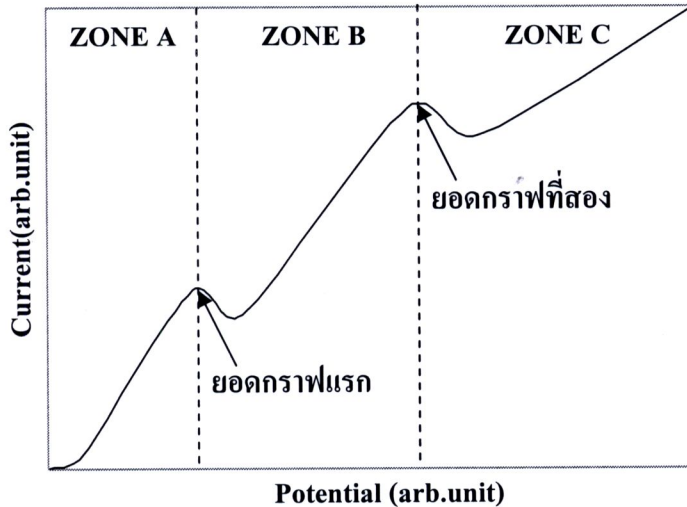
จากรูปที่ 2.13 แสดงถึงลักษณะกระแสและแรงดันไฟฟ้าของเซลล์ไฟฟ้าเคมีระหว่างแผ่นซิลิโคนชนิดพี และเอ็นในสารละลายกรดไฮโดรฟลูออริก โดยจะเห็นได้ว่ามีลักษณะในการไบอัสเซลล์ไฟฟ้าเคมีอยู่สองลักษณะด้วยกัน คือ การไบอัสเซลล์ไฟฟ้าแบบแอนโอดิก และการไบอัสเซลล์ไฟฟ้าแบบแคโทดิก สำหรับแผ่นซิลิโคนชนิดพี การไบอัสเซลล์ไฟฟ้าแบบแอนโอดิก ลักษณะของกระแสและแรงดันไฟฟ้าที่ได้จะมีลักษณะเช่นเดียวกันกับการไบอัสแบบตรง (forward bias) ส่วนการไบอัสเซลล์ไฟฟ้าเคมีแบบแคโทดิก ลักษณะของกระแส และแรงดันไฟฟ้าจะมีลักษณะเหมือนกับการไบอัสแบบยื้อยกลับ (reverse bias) โดยจะมีกระแสสร้างซึ่งเกิดขึ้นจากผลของการหักส่วนน้อยภายในแผ่นซิลิโคนชนิดพี และจากผลของการฉายแสง เช่นเดียวกันกับไบโอดัลท์ไว ส่วนในแผ่นซิลิโคนชนิดเอ็น ลักษณะกระแสและแรงดันไฟฟ้าจะมีลักษณะตรงกันข้ามกับแผ่นซิลิโคนชนิดพี โดยการไบอัสเซลล์ไฟฟ้าแบบแอนโอดิกสำหรับแผ่นซิลิโคนชนิดเอ็นจะมีลักษณะเช่นเดียวกันกับการไบอัสแบบยื้อยกลับ ส่วนการไบอัสเซลล์ไฟฟ้าแบบแคโทดิก ลักษณะกระแส และแรงดันไฟฟ้าที่ได้จะมีลักษณะเดียวกันกับการไบอัสแบบตรง

### ตารางที่ 2.1 ลักษณะสำคัญที่เกิดขึ้น เนื่องจากการใบอัสเซลล์ไฟฟ้าเคมีที่แตกต่างกัน

| ชนิดของแผ่น<br>ชิลิคอน | ลักษณะการใบอัสเซลล์ไฟฟ้าเคมี  |   |
|------------------------|---|---|
|                        | แบบแค็ปโตดิก  | แบบแอนโอดิก   |
| ชนิดพี                 | <ul style="list-style-type: none"> <li>- เนื้อของแผ่นชิลิคอนจะไม่ถูกกัด</li> <li>- ลักษณะการใบอัสเป็นแบบย้อนกลับ</li> </ul> | <ul style="list-style-type: none"> <li>- เนื้อของแผ่นชิลิคอนถูกกัด โดยชิลิคอน</li> <li>- จะเกิดโครงสร้างของนาโนพอร์สชิลิคอนที่ศักย์ไฟฟ้านิ่วสูงๆ</li> <li>- ลักษณะการใบอัสเป็นแบบตรง</li> </ul>                           |
| ชนิดเอ็น               | <ul style="list-style-type: none"> <li>- เนื้อของแผ่นชิลิคอนจะไม่ถูกกัด</li> <li>- ลักษณะการใบอัสเป็นแบบตรง</li> </ul>      | <ul style="list-style-type: none"> <li>- เนื้อของแผ่นชิลิคอนถูกกัดก็ต่อเมื่อทำการฉายแสง โดยชิลิคอน</li> <li>- จะเกิดโครงสร้างของนาโนพอร์สชิลิคอนที่ศักย์ไฟฟ้านิ่วสูงๆ</li> <li>- ลักษณะการใบอัสเป็นแบบย้อนกลับ</li> </ul> |

จากตารางที่ 2.1 จะเห็นได้ว่า การใบอัสเซลล์ไฟฟ้าเคมี ทั้งสองมีลักษณะเป็นรอยสัมผัสซึ่อตกิ้นเหมือนกัน โดยการเกิดนาโนพอร์สชิลิคอนจะเกิดขึ้นเฉพาะเงื่อนไขในการใบอัสเซลล์ไฟฟ้าเคมีแบบแอนโอดิกเท่านั้น ส่วนการใบอัสเซลล์ไฟฟ้าแบบแค็ปโตดิก จะไม่เกิดนาโนพอร์สชิลิคอนขึ้น ไม่ว่าชนิดของแผ่นชิลิคอนจะเป็นชนิดพี หรือชนิดเอ็นก็ตาม โดยส่วนของแผ่นชิลิคอนชนิดเอ็น เนื่องจากการใบอัสเซลล์ไฟฟ้าแบบแอนโอดิกนั้น เป็นการใบอัสแบบย้อนกลับ ดังนั้นในระหว่างการใบอัสเซลล์ไฟฟ้าแบบแอนโอดิกจึงจำเป็นที่จะต้องทำการฉายแสงลงบนผิวค้างหน้าของแผ่นชิลิคอนชนิดเอ็นด้วย ทั้งนี้ก็เพื่อทำให้เกิดพาราส่วนน้อย (โซล) ขึ้นภายในแผ่นชิลิคอนชนิดเอ็น โดยโซลจะเป็นตัวการที่มีความสำคัญเป็นอย่างมากในการเกิดนาโนพอร์สชิลิคอน

จากการพิจารณาลักษณะกระแสและแรงดันไฟฟ้าของเซลล์ไฟฟ้าเคมีเฉพาะในส่วนที่มีการใบอัสแบบแอนโอดิกของทั้งแผ่นชิลิคอนชนิดพี และชนิดเอ็น (ที่ได้ทำการฉายแสงลงบนอัส) พบร่วมกับความสำคัญของสัมพันธ์ แสดงดังรูปที่ 2.14



รูปที่ 2.14 ลักษณะกระแสและแรงดันไฟฟ้าของเซลล์ไฟฟ้าเคมีในส่วนที่มีการใบอัสแบบแอโนไดคิ

จากรูปที่ 2.14 ลักษณะความสัมพันธ์ดังกล่าวจะประกอบไปด้วยยอดกราฟอยู่ 2 จุดค่วยกัน โดยยอดกราฟทั้งสองจุดนี้จะเป็นตัวชี้และแบ่งแยกบริเวณที่มีลักษณะการกัดเนื้อของแผ่นซิลิโคนที่แตกต่างกัน ซึ่งสามารถแบ่งออกได้เป็น 3 บริเวณ ได้แก่ บริเวณ A, B และ C ตามลำดับ โดยในบริเวณ A เป็นช่วงในการเริ่มสร้างนาโนพอร์ซิลิโคน (porous silicon formation regions) จะเป็นบริเวณที่เนื้อของแผ่นซิลิโคนจะถูกกัดเป็นรูพรุนขนาดเล็กๆ ซึ่งจะมีผลทำให้เกิดโครงสร้างของชั้นนาโนพอร์ซิลิโคนขึ้นมาก็ต่อเมื่อค่ากระแส ภายในเซลล์ไฟฟ้าเคมีจะต้องมีค่าน้อยกว่าค่าของกระแสสูงสุดที่ยอดกราฟแรก ส่วนในบริเวณ B เป็นช่วงการกัดที่ทำให้เกิดนาโนพอร์ซิลิโคน ส่วนช่วงที่อยู่ถัดมาจะเป็นบริเวณที่เกิดการเปลี่ยนแปลงลักษณะการกัดเนื้อของซิลิโคน จากลักษณะการกัดที่ทำให้เกิดโครงสร้างของชั้นนาโนพอร์ซิลิโคนไปสู่ลักษณะช่วงการกัดแบบขัดผิวหน้า (electropolishing regions) ซึ่งอยู่ในบริเวณ C โดยโครงสร้างของชั้นนาโนพอร์ซิลิโคนที่เกิดขึ้นในบริเวณ B นี้จะมีลักษณะเป็นรูพรุนเช่นเดียวกันกับนาโนพอร์ซิลิโคนที่เกิดขึ้นในบริเวณแรก แต่จะมีขนาดของเส้นผ่านศูนย์กลางของรูพรุนที่ใหญ่กว่าและสามารถเปลี่ยนแปลงเพิ่มขึ้น ได้อย่างรวดเร็ว เมื่อความต่างศักย์ของเซลล์ไฟฟ้าเคมีมีค่าเพิ่มสูงขึ้นจนเข้าสู่การกัดในลักษณะแบบขัดผิวหน้า ณ ตำแหน่งที่ค่าของกระแสมีค่าสูงสุดที่ยอดกราฟที่สอง และเมื่อพิจารณาจากยอดกราฟทั้งสองจุดในรูปจะสังเกตเห็นได้ว่า เมื่อทำการเพิ่มค่าความต่างศักย์ของเซลล์ไฟฟ้าเคมีให้มีค่ามากขึ้น จนกระแสภายในเซลล์ไฟฟ้ามีค่าสูงสุดแล้ว หลังจากนั้นกระแสก็จะเริ่มนีค่าลดลง ทั้งนี้เนื่องมาจากเกิดปรากฏการณ์ อิมพีเดนซ์เชิงลบ (negative impedance) ขึ้น โดยจากรูปที่ 2.14

### - ในส่วนของยอดกราฟแรก

สำหรับแผ่นซิลิคอนชนิดพี จะเป็นผลมาจากการเกิดปรากฏการณ์ ผลของขนาดความตันขึ้นภายในโครงสร้างของนาโนพอร์สซิลิคอน มีผลทำให้ช่องว่างพลังงานภายในมีความกว้างมากขึ้นกว่าเดิม ได้ จนกระทั่งทำให้พานำกระแสงไม่สามารถผ่านเข้าไปในโครงสร้างส่วนนั้น ได้ ทำให้ค่าความต้านทานภายในของชั้นนาโนพอร์สซิลิคอนมีค่าเพิ่มขึ้น ซึ่งนำไปสู่การที่กระแสเมื่อลดลง

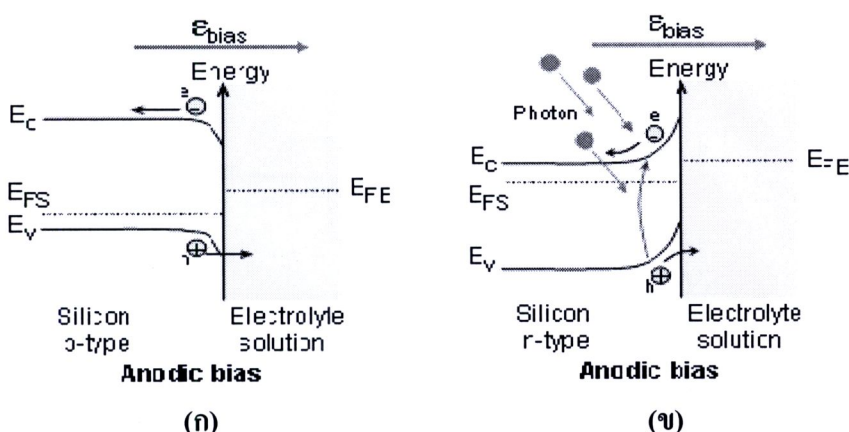
สำหรับแผ่นซิลิคอนชนิดอีน จะเป็นผลมาจากการเกิดบริเวณปลดพานำกระแสงขึ้นรอบๆ โครงสร้างของนาโนพอร์สซิลิคอน และเมื่อโครงสร้างของนาโนพอร์สซิลิคอนมีขนาดเล็กลง ไปเรื่อยๆ จนบริเวณปลดพานำกระแสงสามารถครอบคลุมโครงสร้างของนาโนพอร์สซิลิคอน ได้ทั้งหมด มีผลทำให้พานำกระแสงไม่สามารถผ่านเข้าไปในบริเวณนั้น ได้ ทำให้ค่าความต้านทานภายในชั้นนาโนพอร์สซิลิคอนมีค่าเพิ่มขึ้น

### - ในส่วนยอดกราฟที่สอง

ซึ่งอยู่ระหว่างบริเวณช่วงการกัดที่ทำให้เกิดนาโนพอร์สซิลิคอน กับช่วงการกัดแบบขัดผิวหน้า การที่กระแสเมื่อลดลงเป็นผลมาจากการเกิดออกไซด์ที่บริเวณผิวของนาโนพอร์สซิลิคอน ในระหว่างกระบวนการกัดนั้นเอง

#### 2.3.2 ลักษณะแบบพลังงานที่บริเวณผิวสัมผัสระหว่างแผ่นซิลิคอนกับสารละลายกรดไฮโดรฟลูออริก

บริเวณผิวสัมผัสระหว่างแผ่นซิลิคอนกับสารละลายกรดไฮโดรฟลูออริกภายในเซลล์ไฟฟ้าเคมี จะมีลักษณะเป็นแบบชี้ตอกี โดยจะมีลักษณะของแบบพลังงานที่บริเวณผิวสัมผัส แสดงดังรูปที่ 2.15 [32]



รูปที่ 2.15 ลักษณะแบบพลังงานที่บริเวณผิวสัมผัสระหว่างแผ่นซิลิคอน

(ก) ชนิดพี และ (ข) ชนิดอีน กับสารละลายกรดไฮโดรฟลูออริก

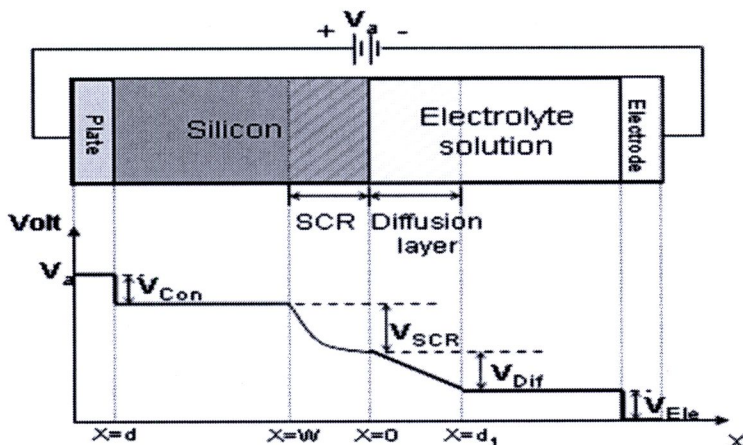
จากการข้างต้นจะเห็นได้ว่า มีการโค้งของอัตราผลิตงานเกิดขึ้นที่บริเวณผิวสัมผัสระหว่างแผ่นซิลิคอนกับสารละลายกรดไฮโดรฟลูออริก โดย

ในแผ่นซิลิคอนชนิดพี การโค้งของอัตราผลิตงาน ณ บริเวณผิวสัมผัสจะมีลักษณะโค้งลง ซึ่งภายใต้การ ไนอัสเซลล์ไฟฟ้าแบบแอนดิก กระแสไฟฟ้าสามารถไหลผ่านผิวสัมผัสได้เนื่องจากเป็นการไนอัสแบบตรง ทำให้เกิดกระบวนการกัดเนื้อของแผ่นซิลิคอนอย่างต่อเนื่องขึ้นได้ดังแสดงในรูปที่ 2.15 (ก)

ในแผ่นซิลิคอนชนิดเอ็น การโค้งของอัตราผลิตงาน ณ บริเวณผิวสัมผัสจะมีลักษณะโค้งลงขึ้น โดยการโค้งจะมีค่ามากขึ้นกว่าเดิมเมื่อแผ่นซิลิคอนชนิดเอ็นอยู่ภายใต้การไนอัสแบบแอนดิก ทำให้กระแสไฟฟ้าไม่สามารถไหลผ่านกำแพงศักดิ์ไปที่ผิวสัมผัสได้ ทำให้ไม่เกิดกระบวนการกัดเนื้อของแผ่นซิลิคอนชนิดเอ็น ดังนั้นในระหว่างการสร้างชั้นนาโนพอร์สซิลิคอน จึงจำเป็นที่จะต้องทำการฉาบแสงให้กับแผ่นซิลิคอนชนิดเอ็น ทั้งนี้เพื่อเพิ่มจำนวนพาหะนำกระแสขึ้นภายในแผ่นซิลิคอนชนิดเอ็น เพื่อให้เกิดกระบวนการกัดเนื้อของแผ่นซิลิคอน ดังแสดงในรูปที่ 2.15 (ข)

### 2.3.3 การกระจายตัวของศักดิ์ไฟฟ้าภายในเซลล์ไฟฟ้าเคมี

เซลล์ไฟฟ้าเคมีที่ใช้ในกระบวนการกัดนาโนพอร์สซิลิคอน จะประกอบด้วยแผ่นซิลิคอนถูกจุ่มน้ำในสารละลายกรดไฮโดรฟลูออริก โดยมีการไนอัสเซลล์ไฟฟ้าเคมีแบบแอนดิก ซึ่งมีผลทำให้ที่บริเวณผิวสัมผัสด้วยต่างๆ ภายในเซลล์ไฟฟ้าเคมีจะมีศักดิ์ไฟฟ้าต่ำคร่อม และมีการกระจายตัวของศักดิ์ไฟฟ้าภายในเซลล์ไฟฟ้าเคมี แสดงดังรูปที่ 2.16 [33]



รูปที่ 2.16 การกระจายตัวของศักดิ์ไฟฟ้าที่ต่อกร่อมบริเวณต่างๆ ภายในเซลล์ไฟฟ้าเคมี โดยที่

$d$  เป็นความหนาของแผ่นซิลิคอน,  $W$  เป็นความกว้างของบริเวณปลดพาหะนำกระแส และ  $d_1$  เป็นความกว้างของบริเวณชั้นที่เกิดการแพร่ในสารละลายกรดไฮโดรฟลูออริก

จากรูปที่ 2.16 จะเห็นได้ว่ามีศักดาไฟฟ้าคร่อมบริเวณต่างๆ ภายในเซลล์ไฟฟ้าเคมี ดังนี้คือ

- ในเนื้อของแผ่นซิลิคอน จะมีศักดาไฟฟ้าต่ำคร่อมบริเวณดังต่อไปนี้ คือ

1. ศักดาไฟฟ้าที่ต่ำคร่อมบริเวณขั้วสัมผัสระหว่างขั้วโลหะกับแผ่นซิลิคอน

2. ศักดาไฟฟ้าที่ต่ำคร่อมบริเวณปลอกพาหะนำกระแส

- ในสารละลายกรดไฮโดรฟลูออริก จะมีศักดาไฟฟ้าต่ำคร่อมบริเวณดังต่อไปนี้ คือ

3. ศักดาไฟฟ้าที่ต่ำคร่อมบริเวณขั้วสัมผัสระหว่างขั้วอิเล็กโตรด กับสารละลายกรดไฮโดรฟลูออริก

4. ศักดาไฟฟ้าที่ต่ำคร่อมบริเวณชั้นที่เกิดการแพร่ (diffusion layer)

ถ้าให้  $V_a$  เป็นศักดาไฟฟ้าที่ป้อนให้แก่เซลล์ไฟฟ้าเคมี เราสามารถเขียนสมการศักดาไฟฟ้ารวมของระบบได้ดังนี้ คือ

$$V_a = V_{diff} + V_{SCR} + V_{Con} + V_{Elec} \quad (2.8)$$

โดย  $V_{diff}$  คือ ศักดาไฟฟ้าที่ต่ำคร่อมบริเวณชั้นที่เกิดการแพร่

$V_{SCR}$  คือ ศักดาไฟฟ้าที่ต่ำคร่อมบริเวณปลอกพาหะ

$V_{Con}$  คือ ศักดาไฟฟ้าที่ต่ำคร่อมบริเวณขั้วสัมผัสระหว่างขั้วโลหะกับแผ่นซิลิคอน

$V_{Elec}$  คือ ศักดาไฟฟ้าที่ต่ำคร่อมบริเวณขั้วสัมผัสระหว่างขั้วอิเล็กโตรดกับ

สารละลายกรดไฮโดรฟลูออริก

ศักดาไฟฟ้า  $V_{con}$  กับ  $V_{elec}$  ในเซลล์ไฟฟ้าเคมีที่มีเงื่อนไขในการสร้างชั้นของนาโนพอร์สซิลิคอนแบบเดียวกันจะมีค่าคงที่เสมอ ดังนั้นจึงทำให้สมการที่ (2.8) สามารถเขียนได้เป็น

$$V_a = V_{diff} + V_{SCR} + Constant \quad (2.9)$$

จากสมการที่ (2.9) จะเห็นได้ว่าศักดาไฟฟ้าที่ต่ำคร่อมบริเวณชั้นที่เกิดการแพร่ ( $V_{diff}$ ) กับ ศักดาไฟฟ้าที่ต่ำคร่อมบริเวณปลอกพาหะ เป็นตัวแปรที่สำคัญภายในเซลล์ไฟฟ้าเคมี ซึ่งจะเป็นตัวควบคุมพาหะและปฏิกิริยาที่เกิดขึ้น โดย

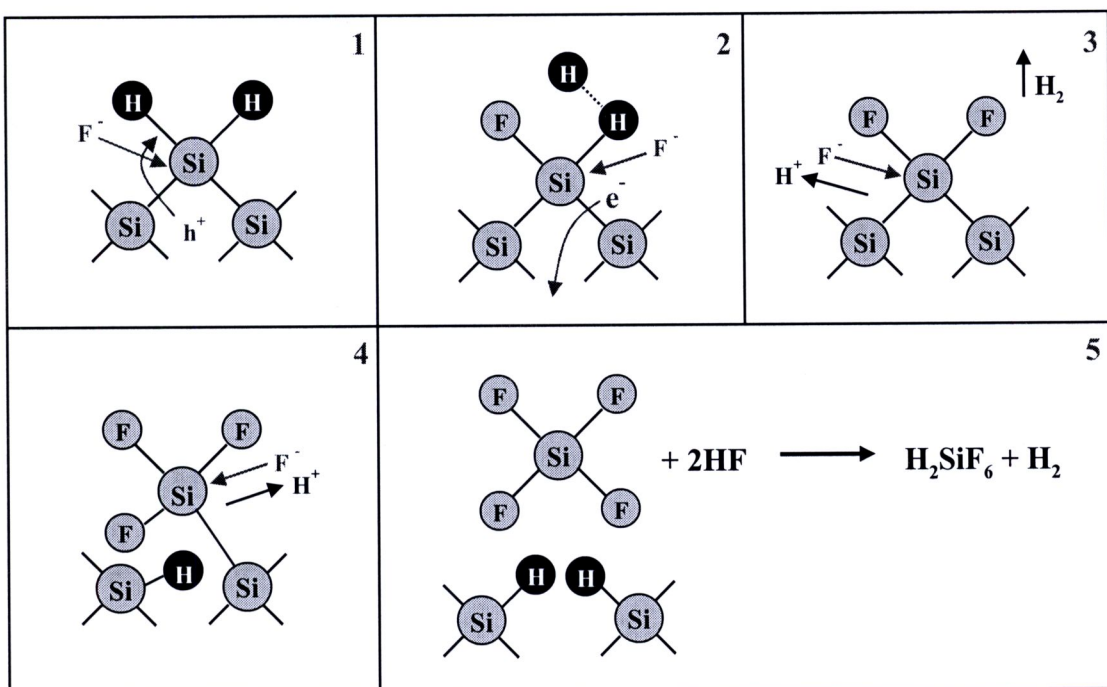
ในแผ่นซิลิคอนชนิดพี เนื่องจากเป็นการไบอัสแบบตรง ทำให้ไม่เกิดบริเวณปลอกพาหะขึ้นในแผ่นซิลิคอน ดังนั้นศักดาไฟฟ้าหลักที่ต่ำคร่อมอยู่ภายในเซลล์ไฟฟ้าเคมี ก็คือ ศักดาไฟฟ้าที่ต่ำคร่อมบริเวณชั้นที่เกิดการแพร่ โดย  $V_{diff}$  นี้จะควบคุม อิออนลบของฟลูออรินที่อยู่ในสารละลายกรดไฮโดรฟลูออริกตรงบริเวณชั้นที่เกิดการแพร่

ในแผ่นซิลิคอนชนิดเอ็น เนื่องจากเป็นการไบอัสแบบข้อนกลับ ทำให้ที่บริเวณผิวสัมผัสของแผ่นซิลิคอนชนิดเอ็นเกิดบริเวณปลดพาราหะชีน และเกิดศักดิ์ไฟฟ้าต่อกันร่องบริเวณปลดพาราหะต่อกันร่องบริเวณนี้ โดยบริเวณปลดพาราหะนี้จะเป็นตัวควบคุมพาราหะนำกระแสภายในแผ่นซิลิคอน ซึ่งจะมีผลต่อปฏิกิริยาเคมีในการกัด และโครงสร้างของนาโนพอร์สซิลิคอนที่ถูกสร้างขึ้น

## 2.4 กลไกในการกัดนาโนพอร์สซิลิคอน [34]

### 2.4.1 ปฏิกิริยาเคมีในการกัดบริเวณผิวของแผ่นซิลิคอน

ในสภาวะปกติเมื่อทำการจุ่มพลีกซิลิคอนลงไปในสารละลายกรดไฮโดรฟลูออริกผิวน้ำของพลีกซิลิคอนจะไม่ถูกสารละลายกรดไฮโดรฟลูออริกทำปฏิกิริยา แต่เมื่อไรก็ตามที่แผ่นซิลิคอนถูกนำมาอยู่ในเซลล์ไฟฟ้าเคมีที่มีการไบอัสแบบแอนodicแล้ว ผิวน้ำของแผ่นซิลิคอนที่สัมผัสนับสารละลายกรดไฮโดรฟลูออริกจะถูกกัดเป็นรูพรุนขนาดเล็กๆ เกิดเป็นชั้นนาโนพอร์สซิลิคอนขึ้นมา โดยปฏิกิริยาเคมีและขั้นตอนในการกัดเนื้อของพลีกซิลิคอน แสดงดังรูปที่ 2.17



รูปที่ 2.17 ขั้นตอนและกลไกทางเคมีในการกัดเนื้อของแผ่นซิลิคอน

เริ่มต้นจากขั้นตอนแรกเมื่อยังไม่มีการไบอัสแบบแอนodic ซึ่งเป็นกระบวนการในการป้อนศักดิ์ไฟฟ้าบวกให้กับขั้วแอนอด (Si) ที่บริเวณผิวน้ำของแผ่นซิลิคอนจะมีอะตอมของไฮโดรเจนปกคลุมอยู่เต็ม มีผลทำให้อิออนของฟลูออรินที่อยู่ในสารละลายกรดไฮโดรฟลูออริกไม่สามารถที่จะเข้ามาทำลายพันธะเคมีระหว่างซิลิคอนกับไฮโดรเจนอะตอมได้ (Si - H) แต่เมื่อไรก็ตามที่มีการ

ใบอัลเซเลล์ไฟฟ้าเคมีแบบแอนดิคิก โดยมีการป้อนศักย์ไฟฟ้าบวกให้แก่ขั้วแอนดิคิก (Si) จนพาหะไฮด สามารถเคลื่อนที่มาถึงบริเวณผิวน้ำของแผ่นซิลิคอนที่สัมผัสกับสารละลายกรดไฮโดรฟลูออริก มีผลทำให้พันธะเคมีระหว่างซิลิคอนกับไฮโดรเจนอะตอมที่ผิวสามารถถูกทำลายได้ โดยอิオンของฟลูออรินที่อยู่ในสารละลายกรดไฮโดรฟลูออริกเกิดเป็นพันธะเคมีระหว่างซิลิคอนกับฟลูออริน ( $\text{Si} - \text{H}$ ) ขึ้นมาแทน ดังแสดงเอาไว้ในขั้นตอนที่ 1 และเนื่องจากอิทธิพลในการโพลาไรซ์ (polarizing) ของพันธะฟลูออรินที่เกิดขึ้นในขั้นตอนแรก ล่งผลทำให้อิออนของฟลูออริน ( $\text{F}^-$ ) อีกตัวที่อยู่ในสารละลายกรดไฮโดรฟลูออริกสามารถที่จะเข้าทำลายพันธะเคมีระหว่างซิลิคอนกับไฮโดรเจนอะตอม ( $\text{Si} - \text{H}$ ) ที่ยังคงเหลืออยู่อีกข้างหนึ่งได้ พร้อมกับเกิดโมเลกุลของก๊าซไฮโดรเจน ( $\text{H}_2$ ) และมีการปล่อยพาหะอิเล็กตรอน 1 ตัวไปยังขั้วแอนดิคิก ดังแสดงในขั้นตอนที่ 2 และ 3 ต่อจากนั้น จะเกิดการเหนี่ยวนำว่าเลนซ์อิเล็กตรอน โดยกลุ่มของพันธะเคมีซิลิคอนกับฟลูออริน ( $\text{Si} - \text{F groups}$ ) ที่เกิดขึ้นในขั้นตอนที่ 2 และ 3 มีผลทำให้พันธะเคมีดังกล่าวสามารถที่จะถูกทำลายได้ โดยอิออนของฟลูออริน เกิดเป็นพันธะเคมีระหว่างซิลิคอนกับฟลูออรินขึ้นมาแทน ดังแสดงในขั้นตอนที่ 3 และ 4 จากขั้นตอนนี้เองจะเห็นได้ว่า อะตอมของซิลิคอนจะถูกดึงให้หลุดออกจากผิวน้ำของแผ่นซิลิคอนพร้อมกับการเกิดพันธะเคมีระหว่างไฮโดรเจนกับซิลิคอนอะตอมที่อยู่ถัดเข้ามา ดังแสดงเอาไว้ในขั้นตอนที่ 5

ส่วนปฏิกริยาเคมีในการกัดที่เกิดขึ้นสามารถเขียนเป็นสมการเคมีได้ดังนี้คือ [34]



จากสมการที่ (2.10) และ (2.11) สามารถเขียนสมการปฏิกริยาเคมีรวม ได้เป็น



จากสมการปฏิกริยาเคมีที่แสดงข้างต้นนี้ เริ่มจากปฏิกริยาเคมีในสมการที่ (2.10) ที่มีแผ่นซิลิคอน ( $\text{Si}$ ) เป็นสารเริ่มต้น อยู่ในสารละลายกรดไฮโดรฟลูออริก ( $\text{HF}$ ) โดยในปฏิกริยาเคมีนี้ จำเป็นต้องอาศัยไฮด (h<sup>+</sup>) ในการเกิดปฏิกริยาเคมี ซึ่งจะทำให้เกิด  $\text{SiF}_2$  ขึ้นที่บริเวณผิวน้ำของแผ่นซิลิคอน ต่อจากนั้นก็จะเกิดปฏิกริยาเคมีระหว่าง  $\text{SiF}_2$  กับสารละลายกรดไฮโดรฟลูออริก ดังแสดงในสมการที่ (2.11) ได้ผลลัพธ์เป็น  $\text{SiF}_4$  หลุดออกมาริบผิวน้ำของแผ่นซิลิคอน ในระหว่างกระบวนการกัดขั้นตอนนี้เอง สังเกตได้ว่าจะเกิดก๊าซไฮโดรเจน ( $\text{H}_2$ ) ขึ้นที่บริเวณผิวน้ำของแผ่น

ซิลิคอนที่ถูกกัด ทำขึ้นด้วยก๊าซไฮโดรฟลูออเริก ซึ่งจะได้ผลลัพธ์สุดท้ายคือสารละลาย  $H_2SiF_6$  ออยู่ในสารละลายกรดไฮโดรฟลูออเริก ดังแสดงในสมการที่ (2.12)

#### 2.4.2 การเกิดรูพรุนของนาโนพอร์สซิลิคอน

แผ่นซิลิคอนเมื่อยู่ในสารละลายกรดไฮโดรฟลูออเริกจะไม่ถูกกัด แต่เมื่อไหร์ก์ตามที่ทำการป้อนกระแสไฟฟ้าในลักษณะแบบใบอัลช์บวกแก่เซลล์ไฟฟ้าเคมี ให้กระแสไฟลัพต่อร้อยสัมผัสระหว่างแผ่นซิลิคอนกับสารละลายกรดไฮโดรฟลูออเริก จะมีผลทำให้เกิดปฏิกิริยาการกัดทางไฟฟ้าเคมีเกิดขึ้น โดยลักษณะการกัดทางไฟฟ้าเคมีจะมีอยู่ 2 แบบ คือ (1) การกัดแบบขัดผิวหน้าด้วยไฟฟ้า (electropolishing) และ (2) การกัดแบบทำให้เกิดนาโนพอร์สซิลิคอน (nanoporous etching)

ทั้งสองแบบมีลักษณะการกัดที่แตกต่างกัน ทั้งนี้ขึ้นอยู่กับปริมาณกระแสไฟฟ้าที่ใช้ในระหว่างการเออนาโนไซซ์เชชัน โดยประจุพานาธนิดบวก (โซล) จะเป็นตัวที่มีความสำคัญเป็นอย่างมากต่อกระบวนการการกัดทั้งสองลักษณะ

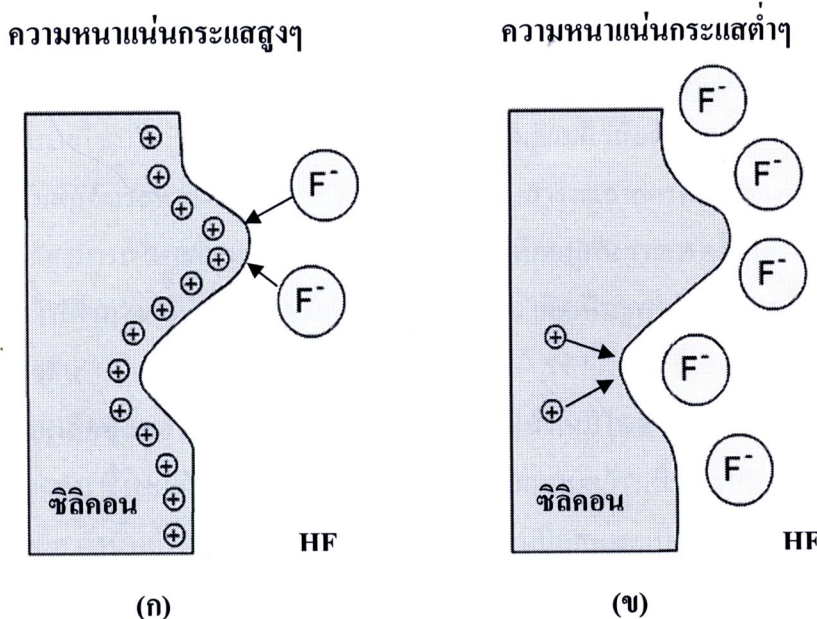
##### - การกัดแบบขัดผิวหน้าด้วยไฟฟ้า

การกัดในลักษณะนี้จะเกิดขึ้นก็ต่อเมื่อทำการป้อนความหนาแน่นกระแสไฟฟ้าให้แก่เซลล์ไฟฟ้าเคมีในปริมาณสูงๆ ( $J > J_{ps}$ ) ซึ่งจะทำให้บริเวณผิวสัมผัสของแผ่นซิลิคอนมีปริมาณของพานาธนิดสูงอยู่เป็นจำนวนมาก ทำให้การกัดที่เกิดขึ้นจะถูกจำกัดโดยอิออนของฟลูออเรินที่อยู่ในสารละลายกรดไฮโดรฟลูออเริก โดยอิออนฟลูออเรินเหล่านี้จะเคลื่อนที่ภายใต้แรงดึงดูดของส่วนที่ยื่นออกมา ดังแสดงในรูปที่ 2.18 (g) จะมีผลทำให้บริเวณปลายสุดของส่วนที่ยื่นออกมามีปริมาณความเข้มของสนามไฟฟ้าสูงสุด ซึ่งจะดึงเอาอิออนของฟลูออเรินเข้ามาทำปฏิกิริยาเคมีในการกัดเนื้อของแผ่นซิลิคอนที่บริเวณปลายสุดที่ยื่นออกมาเป็นส่วนมาก มีผลทำให้ส่วนที่ยื่นออกมาถูกกัดจนเรียบ ดังนั้นเราจึงเรียกการกัดในลักษณะเช่นนี้ว่า การขัดผิวหน้าด้วยไฟฟ้า

##### - การกัดแบบทำให้เกิดนาโนพอร์สซิลิคอน

ส่วนลักษณะการกัดแบบทำให้เกิดนาโนพอร์สซิลิคอน จะเกิดขึ้นก็ต่อเมื่อทำการป้อนความหนาแน่นกระแสในปริมาณต่ำ ( $J < J_{ps}$ ) ซึ่งจะทำให้ปริมาณอิออนของฟลูออเรินในสารละลายกรดไฮโดรฟลูออเริก มีจำนวนมากกว่าจำนวนของโซลที่อยู่บริเวณผิวสัมผัสของแผ่นซิลิคอน ทำให้การกัดในลักษณะนี้จะถูกจำกัดโดยจำนวนโซล ดังนั้นถ้าผิวของแผ่นซิลิคอนมีลักษณะเป็นหลุมหรือรอยซึ่งเกิดจากความไม่เรียบของพื้นผิวหรือจุดบกพร่องต่างๆ ในแผ่นซิลิคอน ดังแสดงในรูปที่ 2.18 (h) เมื่อทำการไอบอสแบบเออนาโนไดค์ให้แก่เซลล์ไฟฟ้าเคมีจะมีผลทำให้บริเวณก้นหลุมหรือจุดบกพร่องเหล่านี้ มีปริมาณความเข้มสนามไฟฟ้าสูงกว่าที่บริเวณอื่นๆ ซึ่งจะเอาพานาธนิดบกพร่องเหล่านี้

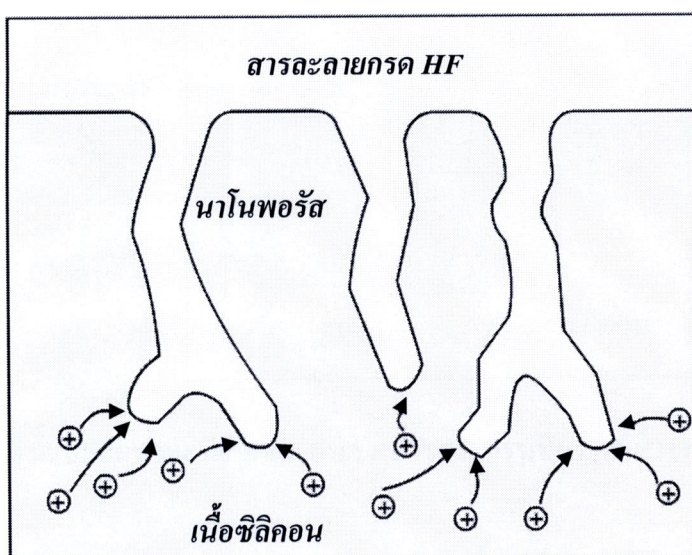
จุดนี้กันมาก ดังแสดงในรูปที่ 2.19 ทำให้เกิดปฏิกริยาเคมีในการกัดเนื้อของพลีกซิลิคอนที่บริเวณกันหลุมจนเกิดเป็นรูพรุนเล็กลงไปในเนื้อของพลีกซิลิคอน



รูปที่ 2.18 แบบจำลองการกัดเนื้อของพลีกซิลิคอนทั้งสองลักษณะ

(ก) ลักษณะการกัดแบบขัดผิวน้ำด้วยไฟฟ้า

(ข) ลักษณะการกัดแบบทำให้เกิดนาโนพอรัสซิลิคอน

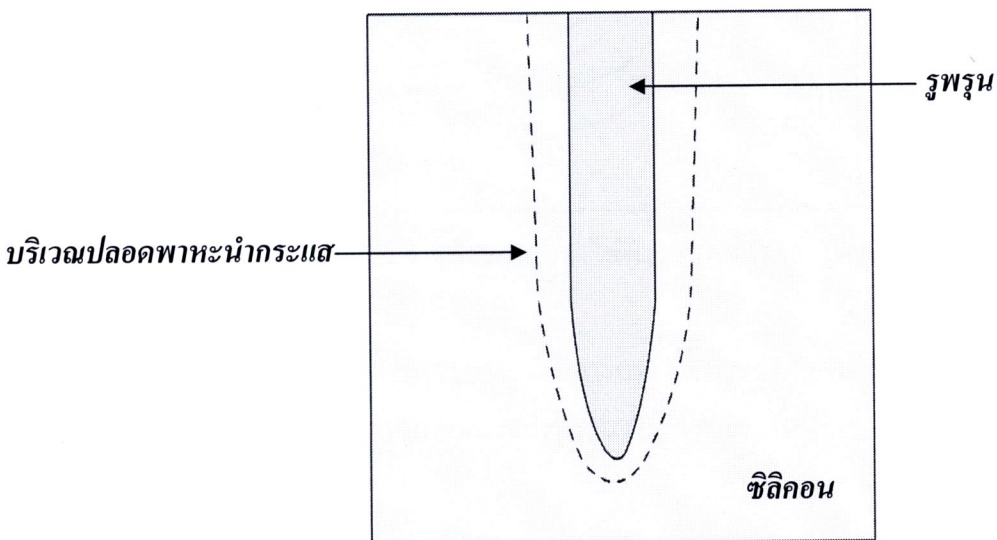


รูปที่ 2.19 การเคลื่อนที่พาราโบลที่ถูกดึงมารวมกับที่บริเวณกันหลุมเนื่องจากอิทธิพลของสนามไฟฟ้า

จากที่ได้กล่าวมาข้างต้น เป็นกลไกการเกิดรูพรุนภายในผลึกซิลิคอนทั้งชนิดพี และชนิดเอ็นอย่างง่ายๆ ซึ่งถ้าจะพิจารณาโดยละเอียดแล้วพบว่าผลึกซิลิคอนทั้งสองชนิดมีกลไกการเกิดโครงสร้างของนาโนพอร์สซิลิคอนที่แตกต่างกัน ทั้งนี้เนื่องจากการใบอัสเซลล์ไฟฟ้าเคมีในลักษณะแบบแอโนไดค์

สำหรับผลึกซิลิคอนชนิดพี จะเป็นการใบอัสแบบตรง ซึ่งการใบอัสในลักษณะเช่นนี้จะไปลดสนามไฟฟ้าภายในบริเวณปลอดพาหะลง โดยจะเกิดขึ้นตามผิวสัมผัสของผลึกซิลิคอน อันเป็นผลมาจากการสัมผัสนั้นระหว่างผิวน้ำของผลึกซิลิคอนกับสารละลายกรดไฮโดรฟลูออริก มีผลทำให้กระแสไฟฟ้าสามารถไหลผ่านรอยสัมผัสระหว่างผลึกซิลิคอนกับสารกรดไฮโดรฟลูออริกได้ ทำให้เกิดปฏิกิริยาไฟฟ้าทางเคมีในการกัดเนื้อของผลึกซิลิคอน เกิดเป็นรูพรุนได้อย่างต่อเนื่องตามที่ได้กล่าวมาแล้วข้างต้น

สำหรับผลึกซิลิคอนชนิดเอ็น การใบอัสเซลล์ไฟฟ้าเคมีในลักษณะแอโนไดค์ จะเป็นการใบอัสแบบข้อกลับ ซึ่งจะมีผลทำให้บริเวณปลอดพาหะ มีความกว้างเพิ่มขึ้นมากกว่าเดิมในขณะที่ยังไม่ทำการใบอัส ดังนั้นถ้าบริเวณของผลึกซิลิคอนชนิดเอ็นมีลักษณะเป็นหลุม ซึ่งเกิดจากความไม่เรียบของพื้นผิว จะมีผลทำให้บริเวณผิวนั้นเกิดบริเวณปลอดพาหะขึ้นรอบๆ ดังแสดงในรูปที่ 2.20



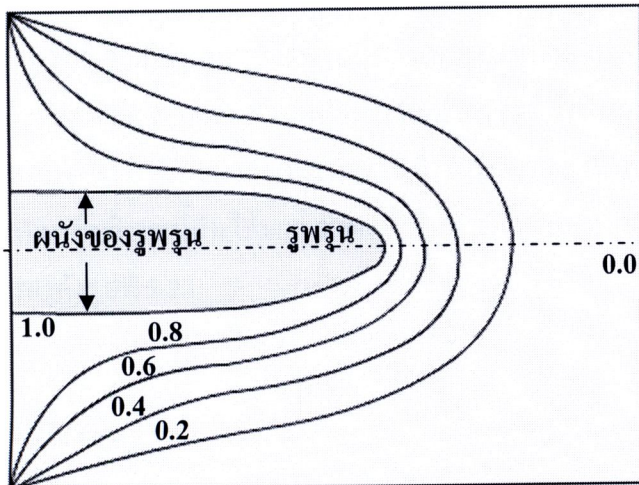
รูปที่ 2.20 บริเวณปลอดพาหะที่เกิดขึ้นรอบๆ ผนังของรูพรุนที่บริเวณผิวของผลึกซิลิคอน

โดยความกว้างของบริเวณบริเวณปลอดพาหะที่เกิดขึ้นจะมีค่าเท่ากับ

$$W = \sqrt{\frac{2\epsilon_s \epsilon_0 V_{SCR}}{qN_D}} \quad (2.14)$$

|        |              |  |
|--------|--------------|--|
| โดยที่ | $W$          | คือ ความกว้างบริเวณบริเวณปลดปล่อยพาหะ            |
|        | $\epsilon_s$ | คือ เปอร์เมติวิตี้ (permittivity) ของผลึกซิลิคอน |
|        | $\epsilon_0$ | คือ เปอร์เมติวิตี้ของสูญญากาศ                    |
|        | $V_{SCR}$    | คือ ความต่างศักย์ที่ต่อกันร่องบริเวณปลดปล่อยพาหะ |
|        | $q$          | คือ ประจุของอิเล็กตรอน                           |
|        | $N_D$        | คือ จำนวนอะตอมสารเจือผู้ให้                      |

จากสมการที่ (2.14) จะเห็นได้ว่าความกว้างของบริเวณปลดปล่อยพาหะจะมีค่าขึ้นอยู่กับค่าความต่างศักย์ที่ต่อกันร่องบริเวณปลดปล่อยพาหะ ( $V_{SCR}$ ) และจำนวนอะตอมสารเจือผู้ให้ ( $N_D$ ) ในผลึกซิลิคอนชนิดเดือน



รูปที่ 2.21 การกระจายตัวของศักดิ์ไฟฟ้ารอบๆ ผนังของรูพรุน

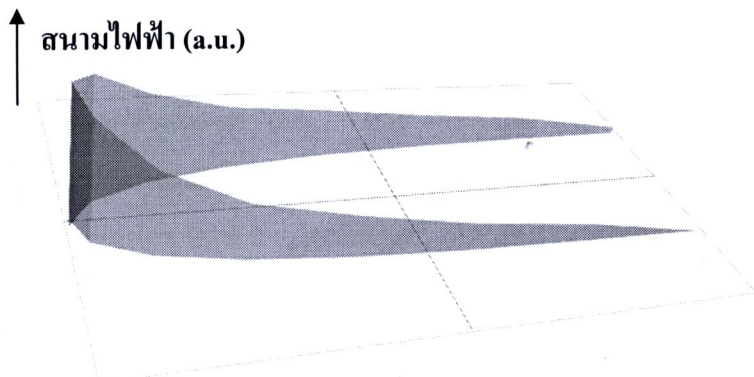
บริเวณปลดปล่อยพาหะที่เกิดขึ้นรอบรูพรุน จะมีการกระจายตัวของศักดิ์ไฟฟ้าเป็นไปตามรูปที่ 2.21 โดยมีปริมาณของสนามไฟฟ้ารอบๆ ผนังของรูพรุน ( $E_s$ ) มีค่าเท่ากับ

$$E_s = 2V_{SCR}/W \quad (2.15)$$

ส่วนสนามไฟฟ้าที่เกิดรอบๆ ก้นหลุมของรูพรุน ( $E'_s$ ) จะมีค่า

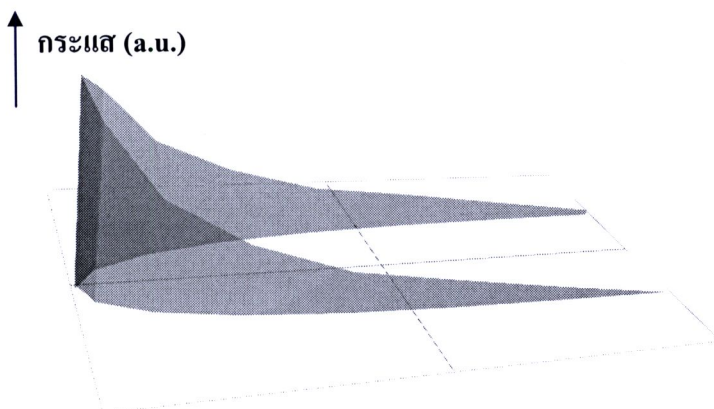
$$E'_s = V_{SCR}/r \quad (2.16)$$

โดย  $r$  คือ รัศมีก้นหลุมของรูพรุน



รูปที่ 2.22 การกระจายตัวของสนามไฟฟ้ารอบๆ ผนังของรูพรุน

จากรูปที่ 2.22 จะเห็นได้ว่าขนาดของสนามไฟฟ้าที่เกิดขึ้นรอบๆ ผนังของรูพรุนจะมีขนาดที่แตกต่างกัน กล่าวคือผนังบริเวณก้นหลุมของรูพรุนมีปริมาณของสนามไฟฟ้าที่สูงกว่าบริเวณผนังรอบๆ ของรูพรุนอยู่ถึงประมาณ 2-3 เท่า ส่วนผนังบริเวณปากรูจะมีค่าต่ำสุดจนเกือบมีค่าเข้าใกล้ศูนย์ ซึ่งจากการที่ก้นหลุมของรูพรุนมีขนาดของสนามไฟฟ้าในปริมาณสูงนั้น มีผลทำให้สามารถดึงพายาน้ำกระแทก (ไฮดรอลิก) มาที่บริเวณนี้กันได้มาก ส่งผลทำให้ที่บริเวณก้นหลุมจะมีปริมาณกระแทกที่สูงกว่าบริเวณอื่นๆ แสดงดังรูปที่ 2.23



รูปที่ 2.23 การกระจายตัวของกระแทกรอบๆ ผนังของรูพรุน

#### 2.4.3 กลไกในการหยุดกัดโครงสร้างของนาโนพอร์สเซลลิคอน

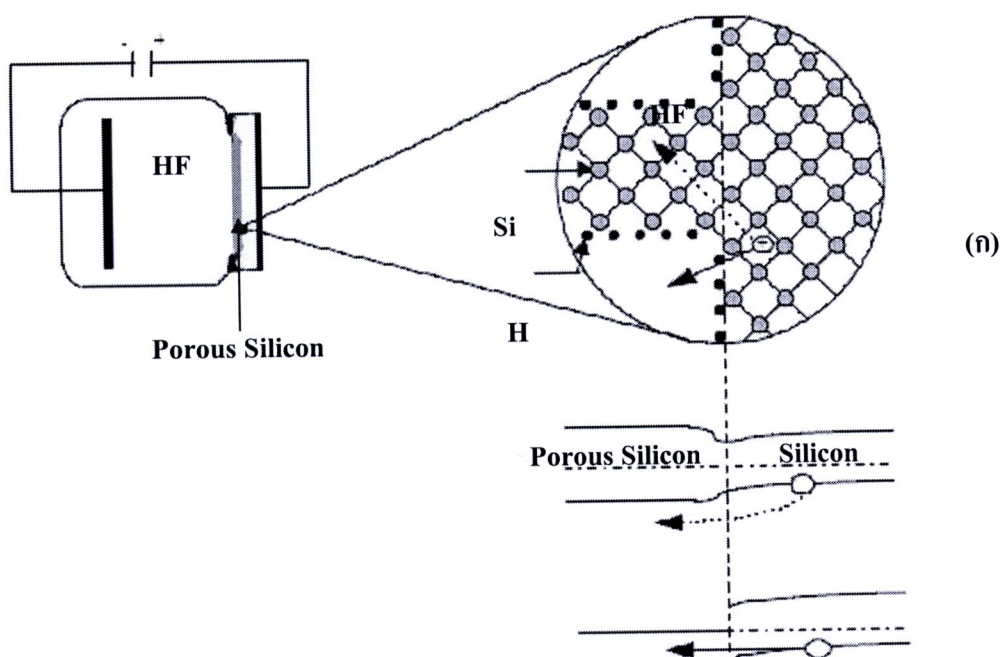
จากการเกิดโครงสร้างของนาโนพอร์สเซลลิคอนขึ้น โดยพายาน้ำกระแทกนิดบากหรือไฮดรอลิกซ์ลิคอนจะเป็นตัวการที่มีบทบาทและความสำคัญ ต่อกระบวนการกัดเนื้อของผลึกซิลิคอน ในแบบทำให้เกิดนาโนพอร์สเซลลิคอนด้วยวิธีการทางไฟฟ้าเคมี เป็นกระบวนการกัดที่สามารถลด

ขนาดโครงสร้างของนาโนพอร์ซิลิคอนให้มีขนาดเล็กลงเรื่อยๆ จนสามารถเข้าสู่ในระดับนาโนเมตร แต่กระบวนการนี้ก็จะอาศัยกลไกในการหยุดกัดโครงสร้างของนาโนพอร์ซิลิคอนด้วย ซึ่งจากการศึกษาพบว่านาโนพอร์ซิลิคอนที่ถูกสร้างขึ้นจากผลึกซิลิคอนชนิดพีและชนิดเอ็นจะมีกลไกในการหยุดกัดที่แตกต่างกัน กล่าวคือ

#### - การหยุดกัดของนาโนพอร์ซิลิคอนที่ถูกสร้างขึ้นจากซิลิคอนชนิดพี

สำหรับผลึกซิลิคอนชนิดพี การไปอัสเซลล์ไฟฟ้าเคมีในลักษณะแอนโอดิก ทำให้บริเวณผิวสัมผัสของผลึกซิลิคอนชนิดพีไม่เกิดบริเวณปลอกพาหะขึ้น ทำให้สามารถทำการกัดเนื้อของผลึกซิลิคอนได้อย่างต่อเนื่อง โดยกลไกการหยุดกัดสำหรับผลึกซิลิคอนชนิดพีจะเกิดขึ้น เนื่องจากการเกิดประกายการณ์ผลของขนาดความตั้มขึ้นในส่วนของนาโนพอร์ซิลิคอน แสดงดังรูปที่

2.24



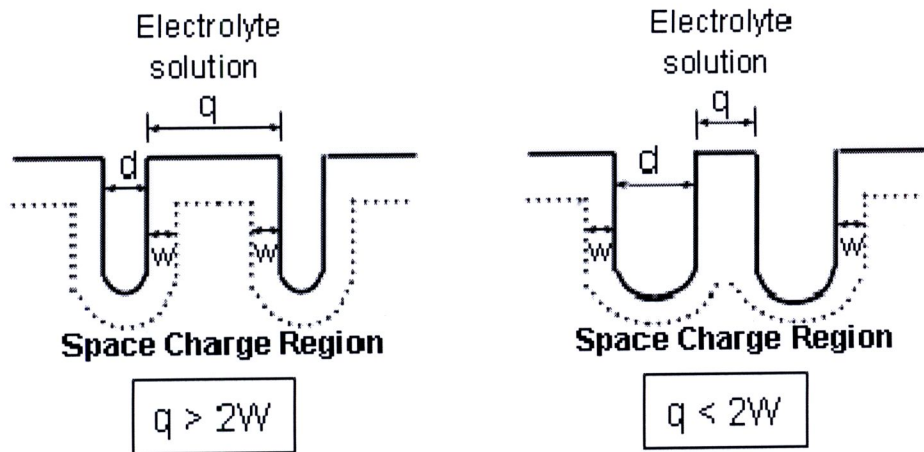
รูปที่ 2.24 กลไกในการหยุดกัดโครงสร้างของชั้นนาโนพอร์ซิลิคอนชนิดพี โดยที่

- (ก) โครงสร้างของนาโนพอร์ซิลิคอน และทิศทางการเคลื่อนที่ของพาหะไฮด
- (ข) ลักษณะแบบพลังงาน และการเคลื่อนที่ของพาหะไฮดจากผลึกซิลิคอนผ่านเข้าไปในโครงสร้างของนาโนพอร์ซิลิคอน
- (ค) ลักษณะแบบพลังงาน และการเคลื่อนที่พาหะไฮด จากผลึกซิลิคอนผ่านไปยังสารละลายกรดไฮโดรฟลูออริกที่บริเวณผิวสัมผัสที่กั้นหกุณของรูพรุน

จากรูปจะเห็นได้ว่า เนื้อของผลึกซิลิคอนชนิดพิจฉุก กัดจนเป็นโครงสร้างของนาโนพอร์สซิลิคอนขึ้นมา และเมื่อทำการกัดอย่างต่อเนื่องจนทำให้โครงสร้างของนาโนพอร์สซิลิคอนมีขนาดเล็กลงไปเรื่อยๆ จนมีขนาดเข้าสู่ในระดับนาโนเมตร ดังแสดงในรูปที่ 2.24 (ก) มีผลทำให้ช่องว่างพลังงานในนาโนพอร์สซิลิคอนมีความกว้างมากขึ้น เมื่อเปรียบเทียบกับผลึกซิลิคอนเดิม ทั้งนี้เป็นผลมาจากการเกิดปรากฏการณ์ ผลของขนาดความตอนตัม ทำให้เกิดความแตกต่างของระดับพลังงานสูงสุดของແບવາເລນທະໜວງนาโนพอร์สซิลิคอนกับผลึกซิลิคอนขึ้น โดยค่าความแตกต่างที่เกิดขึ้นนี้จะเป็นกำแพงศักย์ซึ่งมีค่าเท่ากับ  $\Delta E_v$  สำหรับไฮด แต่เท่ากับ  $\Delta E_c$  สำหรับอิเล็กตรอน ดังนั้นการที่พาหะໂໂສລໃນผลึกซิลิคอนชนิดพิจฉามารถผ่านเข้าไปในโครงสร้างของนาโนนาโนพอร์สซิลิคอน เพื่อทำให้เกิดปฏิกิริยาไฟฟ้าเคมีในการกัดโครงสร้างในส่วนต่อไปได้นี้ พาหะໂໂສລ จำเป็นที่จะต้องได้รับพลังงานที่มีค่ามากกว่า  $\Delta E_v$  ดังแสดงในรูปที่ 2.24 (ข) แต่เมื่อไหร่ก็ตามที่กำแพงศักย์  $\Delta E_v$  มีค่าพลังงานมากกว่าพลังงานภายนอกที่ให้กับໂໂສລ จะมีผลทำให้พาหะໂໂສລໃນผลึกซิลิคอนไม่สามารถผ่านเข้าไปในส่วนของนาโนนาโนพอร์สซิลิคอนได้ ผลที่ตามมาเกือบเกิดการหยุดกัดโครงสร้างของนาโนพอร์สซิลิคอนในส่วนนี้ขึ้นทันที จากที่กล่าวมาจะเห็นได้ว่า  $\Delta E_v$  นั้นมีค่าขึ้นอยู่กับขนาดของนาโนนาโนพอร์สซิลิคอน โดย  $\Delta E_v$  จะมีค่าเพิ่มขึ้นเมื่อขนาดของนาโนนาโนพอร์สซิลิคอนมีค่าลดลง อย่างไรก็ตามถึงแม้ว่าจะเกิดการหยุดกัดในส่วนของนาโนนาโนพอร์สซิลิคอน เนื่องจากพาหะໂໂສລ ไม่สามารถผ่านเข้าไปในบริเวณนาโนนาโนพอร์สซิลิคอนนี้ได้ แต่ปฏิกิริยาไฟฟ้าเคมีในการกัดเนื้อของผลึกซิลิคอนยังคงดำเนินต่อไป โดยบริเวณที่ถูกกัดอย่างต่อเนื่องจะเป็นบริเวณก้นหลุมของรูพรุน ทั้งนี้เนื่องจากพาหะໂໂສລ ในผลึกซิลิคอนชนิดพิจฉามารถผ่านผิวสัมผัสเข้าไปในสารละลายกรดโซเดียมฟลูออริกที่บริเวณก้นหลุมของรูพรุน ได้สะดวกกว่าที่จะผ่านเข้าไปในโครงสร้างของนาโนนาโนพอร์สซิลิคอน ดังแสดงในรูปที่ 2.24 (ค) ดังนั้นจึงทำให้บริเวณก้นหลุมของนาโนพอร์สซิลิคอนจะถูกกัดลึกเข้าไปในเนื้อของผลึกซิลิคอนอย่างต่อเนื่อง

#### - การหยุดกัดของนาโนพอร์สซิลิคอนที่ถูกสร้างขึ้นจากผลึกซิลิคอนชนิดเอ็น

เนื่องจากการใบอัสเซลล์ไฟฟ้าเคมีในลักษณะแอนดิก สำหรับผลึกซิลิคอนชนิดเอ็นจะเป็นการใบอัสแบบขอนกลับ มีผลทำให้เกิดบริเวณปลดพาหะนำกระแสเส้นตามบริเวณผิวสัมผัสของผลึกซิลิคอน โดยความกว้างของบริเวณปลดพาหะนำกระแสจะมีค่าเท่ากับ  $W$  ดังนั้นกลไกในการหยุดกัดของนาโนพอร์สซิลิคอนสำหรับผลึกซิลิคอนชนิดเอ็นแล้วจะเป็นผลมาจากการเกิดบริเวณปลดพาหะนำกระแสเส้นภายในโครงสร้างของนาโนพอร์สซิลิคอน แสดงดังรูปที่ 2.25



รูปที่ 2.25 แผนภาพบริเวณปลอกพาหะนำกระแสที่เกิดขึ้นในโครงสร้างของนาโนพอร์สซิลิคอนที่สร้าง

จากผลึกซิลิคอนชนิดอิเนิน โดยที่

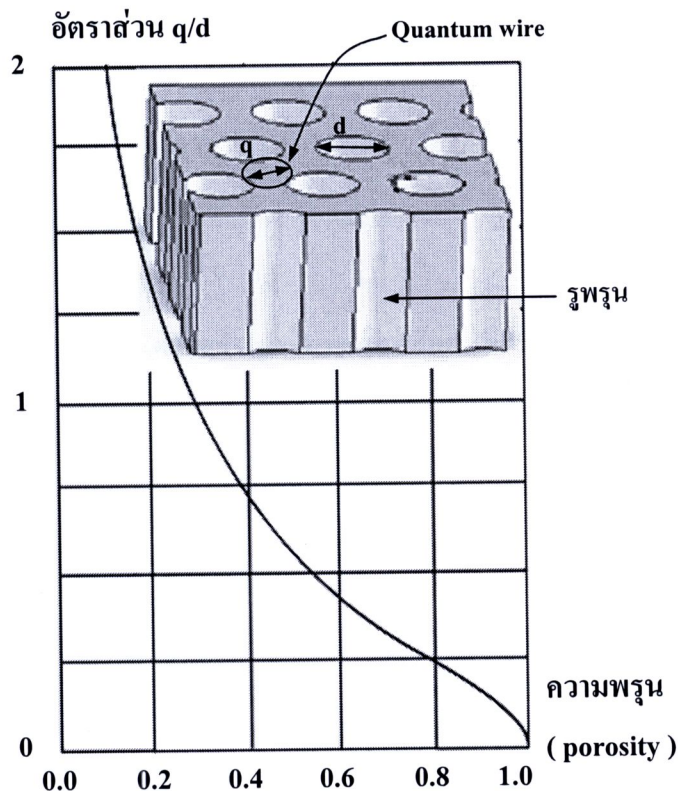
- (ก) โครงสร้างของนาโนพอร์สซิลิคอนที่มีขนาดมากกว่า  $2W$
- (ข) โครงสร้างของนาโนพอร์สซิลิคอนที่มีขนาดน้อยกว่า  $2W$

จากรูปที่ 2.25 (ก) จะเห็นได้ว่านาโนพอร์สซิลิคอนที่สร้างขึ้นจากแผ่นซิลิคอนชนิดอิเนิน เมื่อถูกทำการกัดจะทำให้ขนาดโครงสร้างของนาโนพอร์สซิลิคอน ( $q$ ) มีขนาดลดลงอย่างต่อเนื่อง เกิดเป็นรูพรุนภายในแผ่นซิลิคอนชนิดอิเนินขึ้น โดยมีบริเวณปลอกพาหะนำกระแสปกคลุมอยู่รอบๆ รูพรุนแต่ละรู ในกรณีนี้ ขนาดของโครงสร้างนาโนพอร์สซิลิคอนยังมีขนาดที่มากกว่าสองเท่าของความกว้างบริเวณปลอกพาหะนำกระแส ( $q > 2W$ ) ดังนั้นจึงยังสามารถทำการกัดเพื่อลดขนาดของโครงสร้างนาโนพอร์สซิลิคอนในส่วนนี้ต่อไปได้อีก จนเมื่อไรก็ตามที่ขนาดของโครงสร้างนาโนพอร์สซิลิคอนมีขนาดน้อยกว่าสองเท่าของความกว้างบริเวณปลอกพาหะนำกระแส ( $q < 2W$ ) ดังรูปที่ 2.25 (ข) จะมีผลทำให้เกิดการซ้อนทับกันของบริเวณปลอกพาหะนำกระแส จนโครงสร้างของนาโนพอร์สซิลิคอนถูกครอบคลุมโดยบริเวณปลอกพาหะนำกระแสทั้งหมด ส่งผลทำให้เกิดการหยุดกัดของนาโนพอร์สซิลิคอนในส่วนนี้

## 2.5 ความพรุนของนาโนพอร์สซิลิคอน

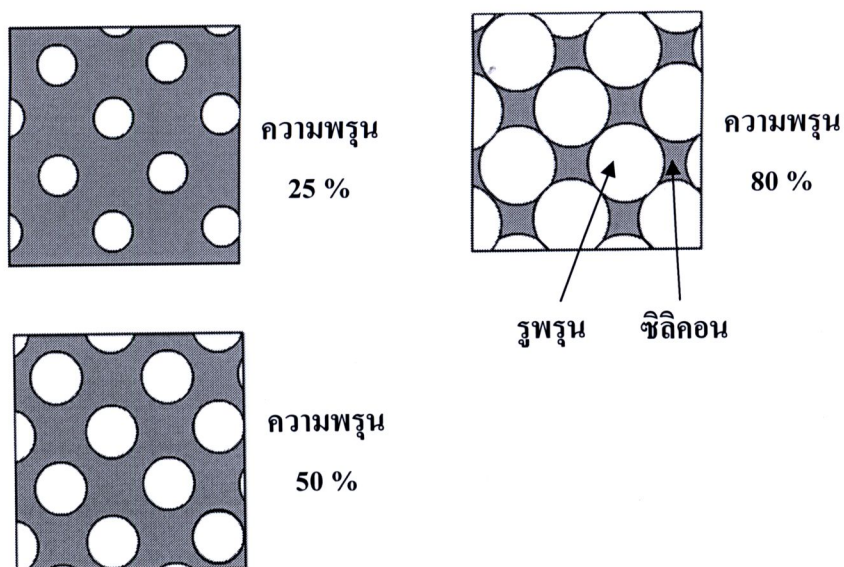
โดยทั่วไปแล้ววัสดุใดๆ ก็ตามที่มีลักษณะโครงสร้างเป็นรูพรุนจำนวนมากจะขยายอุ่นในเนื้อของวัสดุ ก็จะถือได้ว่าวัสดุนี้เป็นวัสดุที่มีความพรุน โดยค่าความพรุนนี้เป็นปริมาณที่สามารถบ่งบอกได้ถึงลักษณะขนาดโครงสร้างของวัสดุ ได้อย่างคร่าวๆ ซึ่งสามารถหาได้จากการเปรียบเทียบอัตราส่วนระหว่างมวลหรือปริมาตรของเนื้อวัสดุกับช่องว่างที่เกิดขึ้นภายในวัสดุนั้นๆ

นาโนพอร์ซิลิคอน คือผลึกซิลิคอนที่มีลักษณะเป็นรูพรุนขนาดเล็กจำนวนมาก โดยขนาดของเนื้อผลึกซิลิคอนที่เหลือและขนาดของรูพรุน จะมีขนาดอยู่ในระดับนาโนเมตร เนื้อของผลึกซิลิคอนในระดับนาโนเมตรนี้จะแสดงคุณสมบัติทาง ผลของขนาดความตัน ส่งผลในลักษณะของความตันในเชิง 1 มิติ ซึ่งความสัมพันธ์ระหว่างเนื้อของผลึกซิลิคอนในระดับนาโนเมตร กับขนาดของรูพรุน จะมีผลต่อความพรุนของชั้นนาโนพอร์ซิลิคอน แสดงดังรูปที่ 2.26 [35]



รูปที่ 2.26 ความสัมพันธ์ระหว่างอัตราส่วนของขนาดเนื้อซิลิคอน ( $q$ ) กับขนาดของรูพรุน ( $d$ ) ที่มีต่อความพรุนของนาโนพอร์ซิลิคอน

จากรูปข้างต้นจะเห็นได้ว่า ทั้งขนาดของเนื้อซิลิคอนและขนาดของรูพรุน มีผลต่อความพรุนของนาโนพอร์ซิลิคอน โดยถ้าเนื้อของผลึกซิลิคอนถูกกัดจนมีขนาดเล็กลง หรือขนาดของรูพรุนมีขนาดกว้างขึ้น จะมีผลทำให้ชั้นนาโนพอร์ซิลิคอนนั้นมีความพรุนมากกว่าเดิม และดังรูปที่ 2.27



รูปที่ 2.27 แผนภาพจำลองค้านบนของโครงสร้าง nano porous ซิลิคอนที่เปอร์เซนต์ความพรุนต่างๆ